

# 7. Graphenalgorithmen

## Grundlagen:

1. Paar  $(V, E)$  heißt **gerichteter Graph  $G$** , wobei  $V$  endl. Menge von Knoten und  $E \subseteq V \times V$  eine endl. Menge von **Kanten** ist.

Element  $e = (v, w) \in E$

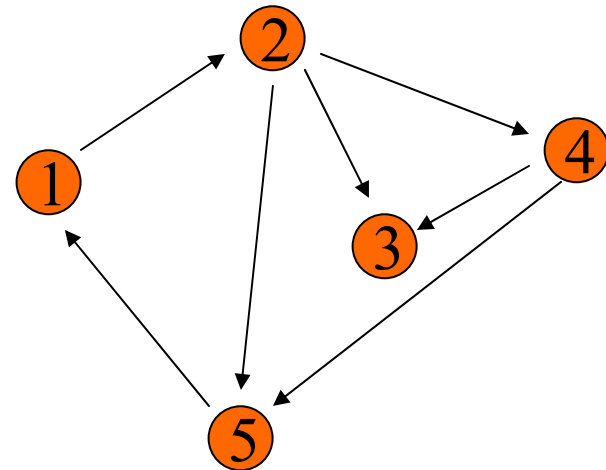
heißt **Kante** von  $v$  nach  $w$

(„ $v \longrightarrow w$ “)

$v$  ist **Startknoten** von  $e$

$w$  ist **Zielknoten** von  $e$

$w$  ist **Nachbarknoten** von  $v$  ( $w$  ist **adjazent** zu  $v$ )



---

2. **Pfad** in  $G$  ist Folge  $(v_0, \dots, v_k)$  von Knoten mit  $k \geq 0$   
und  $(v_i, v_{i+1}) \in E$  für  $0 \leq i \leq k-1$ .

**Länge** des Pfades ist  $k$ .

Falls  $v_0 = v_k$  und  $k \geq 1$ , so heißt der Pfad **Kreis** bzw. **Zyklus**.

Falls  $v_i \neq v_j$  für alle  $i \neq j$ , so heißt der Pfad **einfach**.

Falls es Pfad von  $v$  nach  $w$  in  $G$  gibt, so schreibt man

$$v \xrightarrow[G]{*} w.$$

Gerichteter Graph heißt **zyklisch**, falls er Kreis enthält;  
sonst **azyklisch**.



# 7.1 Darstellung von Graphen

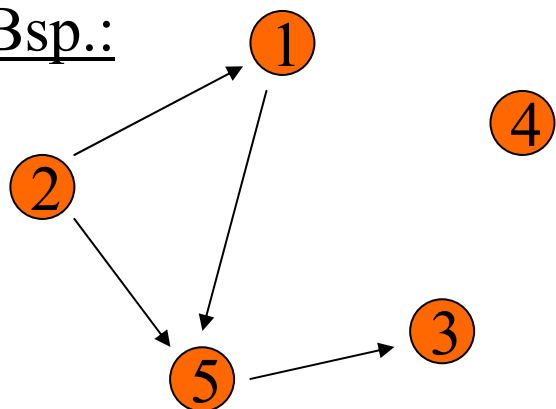
Annahme:  $V = \{1, 2, \dots, n\}$ ,  $G = (V, E)$ ,  $n = |V|$ .

Zwei Darstellungsarten sind üblich:

1. Darstellung: **Adjazenzmatrix**  $A = (a_{ij})$ ,  $1 \leq i, j \leq n$

$$a_{ij} := \begin{cases} 1, & \text{falls } (i, j) \in E \\ 0, & \text{sonst.} \end{cases}$$

Bsp.:

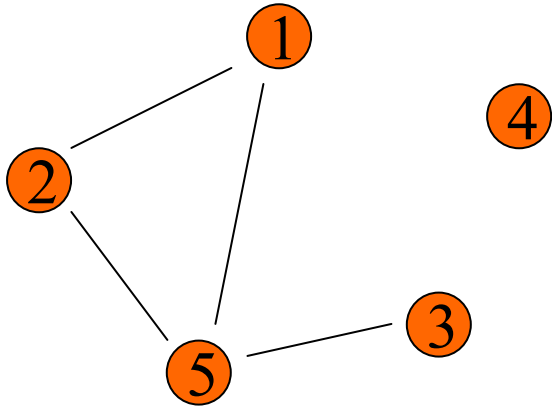


	1	2	3	4	5
1	0	0	0	0	1
2	1	0	0	0	1
3	0	0	0	0	0
4	0	0	0	0	0
5	0	0	1	0	0



---

Bei ungerichteten Graphen ist die Adjazenzmatrix symmetrisch:



hier:  $a_{ij} := \begin{cases} 1, & \text{falls } \{i,j\} \in E \\ 0, & \text{sonst.} \end{cases}$

	1	2	3	4	5
1	0	1	0	0	1
2	1	0	0	0	1
3	0	0	0	0	1
4	0	0	0	0	0
5	1	1	1	0	0

---

Platzbedarf:  $O(n^2)$

ist günstig, falls  $m := |E| \approx n^2$ .

Aber: Oft sind Graphen dünn, d.h.  $m \approx O(n)$ .

Bsp.:

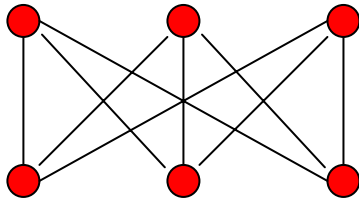
- > Zahl der Kanten in Bäumen mit  $n$  Knoten ist  $n - 1$ .
  
- > Planare Graphen: Graph heißt **planar**, falls er in Ebene gezeichnet werden kann, ohne dass sich Kanten überkreuzen.



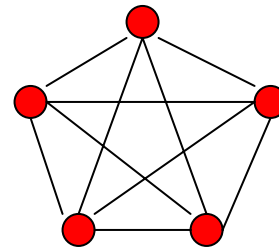
---

Zwei nicht-planare, ungerichtete Graphen:

$K_{3,3}$



$K_5$



(„vollständiger“ bipartiter Graph mit 3 und 3 Knoten)

Mitteilung: Ein planarer Graph mit  $n > 2$  Knoten enthält maximal  $3n - 6$  Kanten.



---

## 2. Darstellung: **Adjanzenzlisten**

Speichere für jeden Knoten  $v$  seine „Nachbarn“:

$G = (V, E)$  gerichtet:

$$\text{InAdj}(v) = \{ w \in V \mid (w, v) \in E \}$$

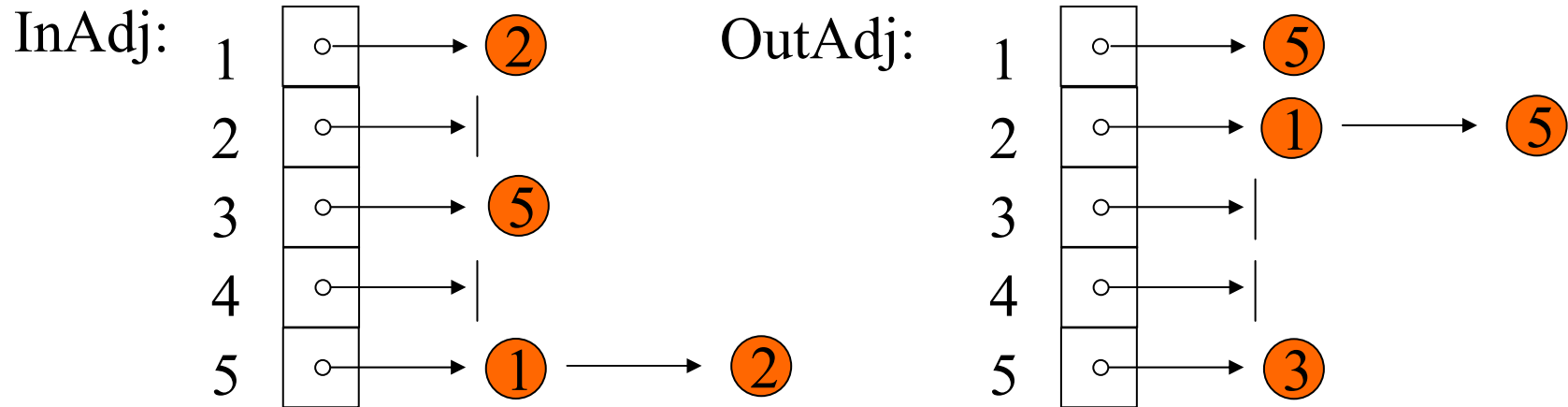
$$\text{OutAdj}(v) = \{ w \in V \mid (v, w) \in E \}$$

$G$  ungerichtet:

$$\text{Adj}(v) = \{ w \in V \mid \{v, w\} \in E \}$$

---

Im vorigen Beispiel (gerichtet):



Platzbedarf:  $O(n + m)$

Nachteil: Zugriffszeit auf Kante abhängig von Listenlänge,  
d.h. **Knotengrad**:

Eingangsgrad  $\text{indeg}(v)$  eines Knoten  $v = \left| \left\{ (w, v) \mid (w, v) \in E \right\} \right|$ ,

Ausgangsgrad  $\text{outdeg}(v)$  eines Knoten  $v = \left| \left\{ (v, w) \mid (v, w) \in E \right\} \right|$

(analog für ungerichtete Graphen).



---

Graph  $G = (V, E)$  heißt **Baum**, falls

- a)  $V$  enthält genau einen Knoten  $v_0$  mit  $\text{indeg}(v_0) = 0$ .
- b)  $\forall v \in V \setminus \{v_0\} : \text{indeg}(v) = 1$
- c)  $G$  ist azyklisch.



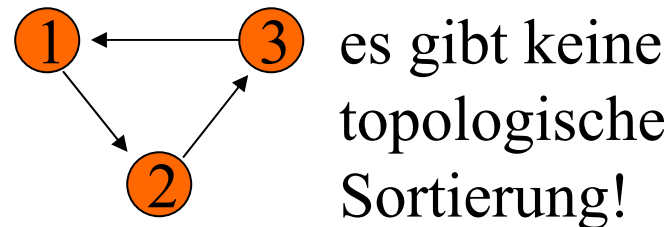
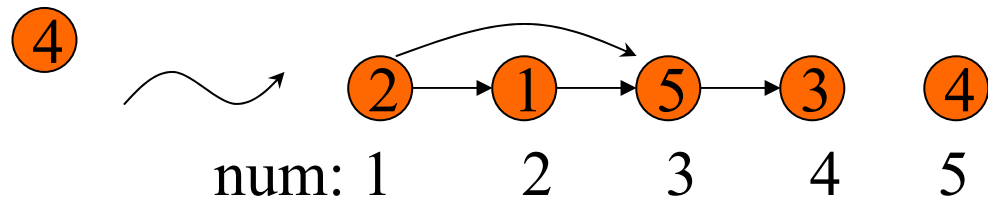
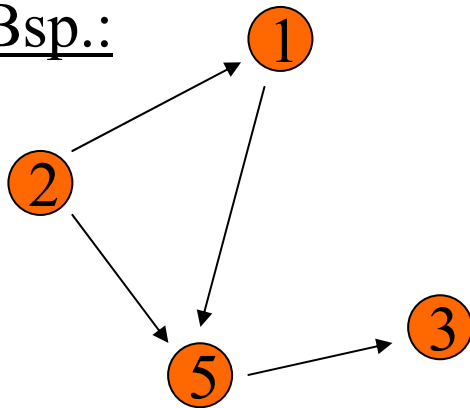
## 7.2 Topologisches Sortieren

Sei  $G = (V, E)$  gerichteter Graph.

Abbildung  $\text{num}: V \longrightarrow \{1, \dots, n\}$  mit  $n = |V|$  heißt

**topologische Sortierung** von  $G$ , falls  $\text{num}(v) < \text{num}(w)$  für alle  $(v, w) \in E$ .

Bsp.:



---

## Lemma:

Gerichteter Graph  $G = (V, E)$  besitzt genau dann eine topologische Sortierung, wenn  $G$  azyklisch ist.

## Beweis:

" $\Rightarrow$ ":

Sei  $G$  zyklisch. Dann ist etwa  $(v_0, \dots, v_k)$ ,  $k \geq 1$ , ein Kreis. Für eine topologische Sortierung muss aber gelten:

$$\text{num}(v_0) < \text{num}(v_1) < \dots < \text{num}(v_k) = \text{num}(v_0).$$

Widerspruch!!



---

" $\leftarrow$ ":

Sei  $G$  azyklisch.

Beh.:  $G$  enthält Knoten  $v$  mit  $\text{indeg}(v) = 0$ .

Wir finden solchen Knoten  $v$  wie folgt.

Starte mit bel. Knoten  $w$  und gehe entlang eingehender Kanten „rückwärts“. Da Graph azyklisch und endlich, wird kein Knoten auf diesem „Rückweg“ zweimal besucht und daher terminiert dieser Prozess mit einem Knoten  $v$  mit  $\text{indeg}(v) = 0$ .



---

## Jetzt zur topologischen Sortierung:

Beweis per Induktion über Knotenzahl:

$|V| = 1$ : trivial.

$|V| > 1$ : Wähle (gemäß Beh.)  $v$  mit  $\text{indeg}(v) = 0$ .

Entferne  $v$  und sortiere den Restgraph  $G'$  topologisch induktiv, d.h.:

Sei  $\text{num}' : V' \longrightarrow \{1, \dots, |V'|\}$  top. Sortierung für  $G'$ .

Dann ergibt sich die top. Sort. num durch

$$\text{num}(w) = \begin{cases} \text{num}'(w) + 1, & \text{falls } w \neq v \\ 1, & \text{falls } w = v. \end{cases}$$

□



---

## Grundalgorithmus für topologisches Sortieren:

```
count ← 0;
while ∃ v ∈ V mit indeg(v) = 0 do
    count ++;
    num(v) ← count;
    streiche v und alle von v ausgehenden Kanten aus G;
od
if count < |V|
    then ausgabe(G zyklisch!)
fi
```

## Komplexitätsanalyse:

Problem: Test auf Existenz eines Knotens  $v$  mit  $\text{indeg}(v) = 0$ .

Lösung: Merke alle Knoten mit  $\text{indeg} = 0$  in Menge ZERO.

Führe für jeden Knoten Buch über Anzahl jeweils einmündender Kanten.



---

## Algorithmus TOPSORT:

- (1) ZERO  $\leftarrow$   $\emptyset$ ;
- (2) for all  $v \in V$  do INDEG[ $v$ ]  $\leftarrow$  0 od;
- (3) for all  $e \in E$  do INDEG[target( $e$ )] ++ od;
- (4) for all  $v \in V$  do
- (5)     if INDEG[ $v$ ] = 0 then ZERO  $\leftarrow$  ZERO  $\cup$  { $v$ } fi
- (6) od
- (7) count  $\leftarrow$  0;

Fortsetzung  $\longrightarrow$  nächste Folie



- 
- (8) while ZERO  $\neq \emptyset$  do
- (9)        wähle und streiche  $v \in \text{ZERO}$  ;
- (10)        count ++;
- (11)        num[v]  $\leftarrow$  count;
- (12)        for all  $(v, w) \in E$  do
- (13)                INDEG[w] -- ;
- (14)                if INDEG[w] = 0 then ZERO  $\leftarrow$  ZERO  $\cup$  {w} fi
- (15)        od
- (16) od;
- (17) if count < |V| then ausgabe(G zyklisch!) fi



---

Satz:

Topologische Sortierung eines gerichteten Graphen  $G = (V, E)$  kann in Zeit  $O(n + m)$  (Linearzeit!) berechnet werden.

Hierbei:  $n = |V|$ ,  $m = |E|$ .

Beweis: Die Korrektheit folgt unmittelbar mit dem Lemma.

Zur Komplexität: Übungsaufgabe!

□



---

## 7.3 Kürzeste/Billigste Wege in Graphen

Sei  $G = (V, E)$  gerichteter Graph mit **Kostenfunktion**  $c: E \longrightarrow \mathbf{R}$ , ein sogenanntes **Netzwerk**.

Sei  $p = (v_0, \dots, v_k)$  Pfad von  $v_0 = v$  nach  $v_k = w$ .

Dann heißt

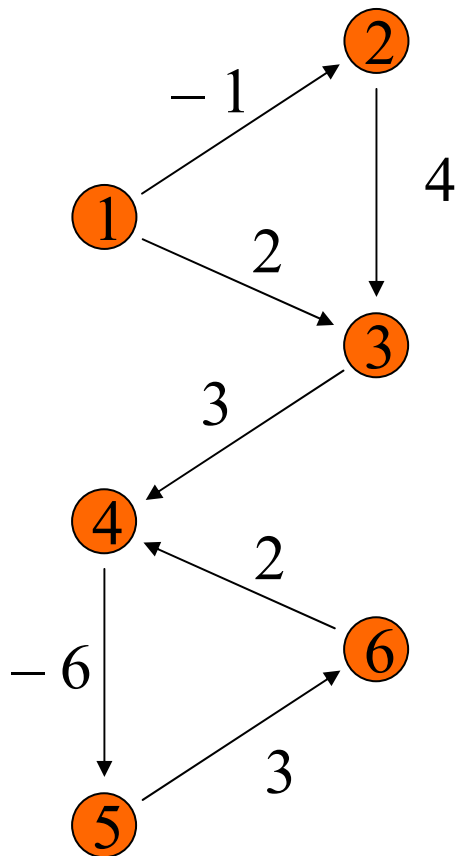
$$c(p) := \sum_{i=0}^{k-1} c(v_i, v_{i+1})$$

**Kosten** des Pfades von  $v$  nach  $w$ .

$\text{dist}(v, w) = \inf \{c(p) \mid p \text{ ist Pfad von } v \text{ nach } w\}$   
heißt **Entfernung**.



## Beispiel:



$$\text{dist}(1,2) = -1$$

$$\text{dist}(3,1) = \infty$$

$$\text{dist}(3,4) = -\infty, \text{ da}$$

Pfad  $(3,4,(5,6,4)^i)$  Kosten  $3 - i$   
hat für alle  $i \geq 0$ .

negativer Zyklus



---

## 3 grundsätzliche Problemstellungen:

- ① single pair shortest paths  
(kürzeste Wege zwischen einem Knotenpaar)
- ② single source shortest paths  
(kürzeste Wege von einem Knoten aus)
- ③ all pairs shortest paths  
(kürzeste Wege zwischen allen Knotenpaaren)

### Bemerkung:

Unbekannt, ob ① leichter/effizienter lösbar als ② .



---

## 7.3.1 Single Source Shortest Paths

Sei  $s$  der „Quellknoten“.  $G = (V, E)$ .

Gesucht für alle  $u \in V$

$$\delta(u) := \begin{cases} \infty, & \text{falls kein Pfad von } s \text{ nach } u \text{ in } G, \\ \text{dist}(s, u), & \text{sonst.} \end{cases}$$

### Lemma:

Sei  $u \in V$ . Dann gilt:

- i)  $\delta(u) = -\infty$  gdw.  $u$  ist erreichbar aus negativem Zyklus, der von  $s$  aus erreichbar ist.
- ii)  $\delta(u) \in \mathbf{R} \Rightarrow \exists$  billigster einfacher Pfad von  $s$  nach  $u$  mit Kosten  $\delta(u)$ .



---

## Beweis:

i) "⇐": klar!

"⇒": Sei  $c := \sum_{e \in E} |c(e)|$  und sei  $p$  ein kürzester Weg von  $s$  nach  $u$  mit  $c(p) < -c$ .

Dann muss  $p$  Zyklus  $q$  enthalten, d.h.  $p$  ist nicht einfach. Wäre nun  $c(q) \geq 0$ , so könnten wir  $q$  aus  $p$  entfernen und so  $p$  verkürzen/verbilligen.



---

ii) Falls  $\delta(u) \in \mathbf{R}$ , so gibt es Pfad von  $s$  nach  $u$ .

Wir zeigen:  $\delta(u) = \min \{ c(p) \mid p \text{ ist Pfad von } s \text{ nach } u \text{ und } p \text{ ist einfach} \}$ .

Sei  $p^*$  billigster einfacher Weg von  $s$  nach  $u$ .

Ist Behauptung falsch, dann gibt es einen nichteinfachen Weg  $q$  von  $s$  nach  $u$  mit  $c(q) < c(p^*)$ .

Durch Entfernen des Zyklus aus  $q$  entsteht kürzerer Weg  $q'$  und da Zyklus (gemäß  $i$ ) nicht negativ ist, folgt  $c(q') \leq c(q) < c(p^*)$ , ein Widerspruch. ⚡

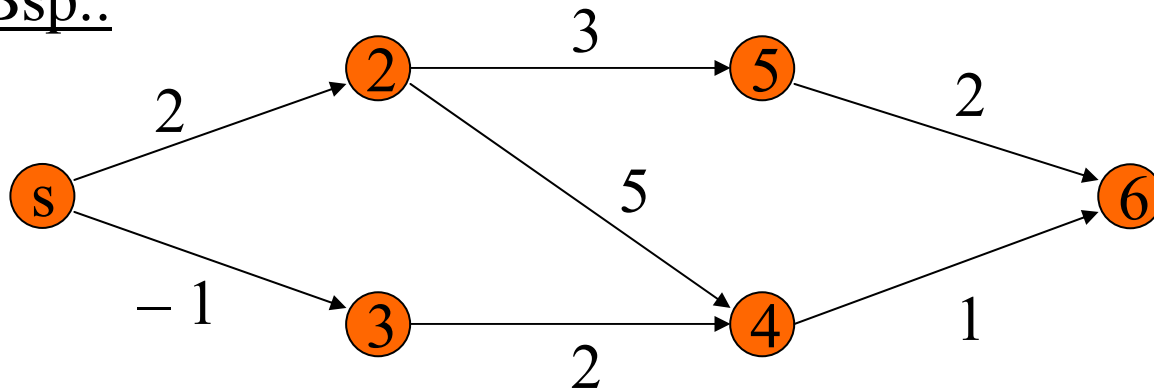
□



---

### 7.3.1.1 Der geg. Graph $G = (V, E)$ ist azyklisch.

Bsp.:



$$\delta(s) = 0, \quad \delta(2) = 2, \quad \delta(3) = -1,$$

$$\delta(4) = \inf \{7, 1\} = 1,$$

$$\delta(5) = 2 + 3 = 5,$$

$$\delta(6) = \inf \{5 + 2, 7 + 1, 1 + 1\} = 2$$



---

Nachfolgender Algorithmus setzt voraus, dass Graph topologisch sortiert ist, „also“  $V = \{1, 2, \dots, n\}$ .

Algorithmus:

$d(s) \leftarrow 0;$

$\text{Pfad}(s) \leftarrow s;$  (\* Pfad als Liste repräsentiert \*)

for all  $v \in V \setminus \{s\}$  do  $d(v) \leftarrow \infty$  od;

for  $v = s + 1$  to  $n$  do

$d(v) \leftarrow \min \{d(u) + c(u, v) \mid (u, v) \in E\}$

(\*  $u^*$  sei hierbei ein optimaler  $u$ -Wert \*)

$\text{Pfad}(v) \leftarrow \text{Pfad}(u^*) \circ v$

od



---

## Satz:

Nach Ausführung von obigem Algorithmus gilt

- 1)  $d(v) = \delta(v) \quad \forall v \in V$
- 2)  $d(v) < \infty \Rightarrow$  Pfad( $v$ ) ist billigster Weg von  $s$  nach  $v$ .
- 3) Algorithmus hat Laufzeit  $O(n + m)$ , wobei  $n = |V|$  und  $m = |E|$ .

## Beweis:

Korrektheit ( 1) + 2) ): Induktion über  $v$

$v < s$ :  $\delta(v) = \infty$ , da  $v$  von  $s$  aus nicht erreichbar.

$d(v) = \infty$ , da nach Init. nicht mehr verändert

$v = s$ :  $\delta(v) = d(v) = 0$ . Pfad( $s$ ) =  $s$  ist einziger Weg.



---

$v > s$ : Sei  $\text{In}(v) := \{ u \in V \mid (u, v) \in E \}$ .  
Nach Ind'vor. gilt für  $u \in \text{In}(v)$  schon  
 $d(u) = \delta(u)$  und  $\text{Pfad}(u)$  ist berechnet.

Ist  $\text{In}(v) = \emptyset$ , dann  $d(v) = \delta(v) = \infty$ .

Ist  $\text{In}(v) \neq \emptyset$ , so wähle  $u^*$  mit  
 $d(u^*) + c(u^*, v)$  minimal.

Falls  $d(u^*) = \infty$ , so auch  $d(v) = \delta(v) = \infty$ .

Sonst ergibt sich billigster Weg nach  $v$   
durch Konkatination und

$$\delta(v) = \delta(u^*) + c(u^*, v) = d(v).$$



---

## Laufzeit:

Topologisches Sortieren kostet Zeit  $O( n + m )$ .

Initialisierung:  $O(n)$

„Hauptteil“: Komplexität wird i.w. bestimmt durch

$$\sum_{v \in V} | \text{In}(v) | = m ,$$

also  $O( n + m )$ .

□



---

### 7.3.1.2 Alle Kantenkosten nichtnegativ (d.h. $\forall e \in E, c(e) \geq 0$ ), Zyklen erlaubt

→ Dijkstras Algorithmus:

Nachfolgend nur Kosten kürzester Pfad berechnet;  
eigentliche Pfadberechnung analog vorher.

Idee: Für Menge  $S$  von Knoten mit bereits bestimmtem kürzesten Pfad muss es Knoten  $x \in V \setminus S$  geben, sodass kürzester Weg von  $s$  nach  $x$  über die Knoten in  $S$  geht und dann noch eine Kante aus  $S$  nach  $x$ .

Genauer:  $x$  ist Knoten, der für alle  $u \in S$  den Ausdruck  
 $\delta(u) + c(u, x)$  minimiert.



---

Nachfolgend:

$S :=$  Menge der Knoten  $u$  mit bekanntem  $\delta(u)$ .

$S' :=$  Menge der Knoten aus  $V \setminus S$ , die Nachbarn in  $S$  haben

Algorithmus:

$S \leftarrow \{s\}; d(s) \leftarrow 0;$

$S' \leftarrow \text{OutAdj}(s);$

for all  $u \in S'$  do;

$d'(u) \leftarrow c(s, u);$

for all  $u \in V - (S \cup S')$  do

$d'(u) \leftarrow \infty;$



---

while  $S' \neq \emptyset$  do

$x \leftarrow$  derjenige Knoten aus  $S'$  mit minimalem  $d'$  - Wert;

$d(x) \leftarrow d'(x)$ ;

$S \leftarrow S \cup \{x\}$ ;

$S' \leftarrow S' \setminus \{x\}$ ;

for all  $u \in \text{OutAdj}(x)$  do

if  $u \notin S$

then  $S' \leftarrow S' \cup \{u\}$ ;

$d'(u) \leftarrow \min \{d'(u), d(x) + c(x, u)\}$

fi

od

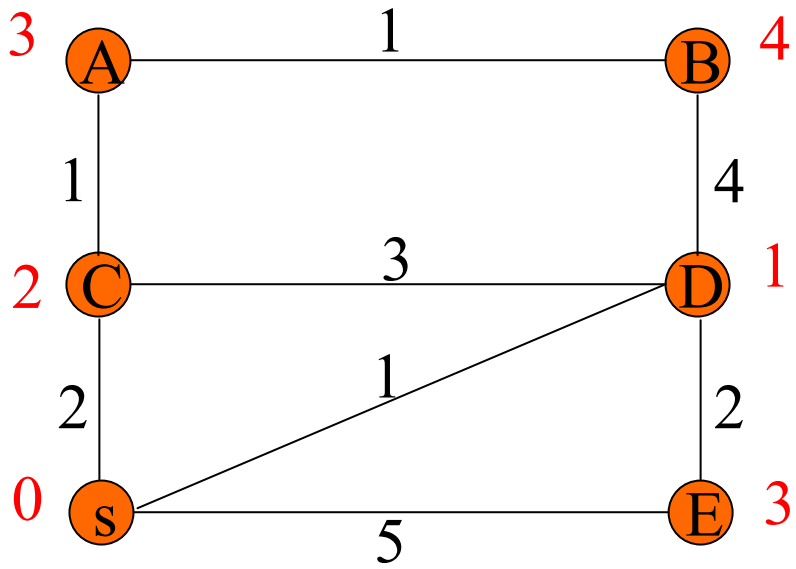
od



# Beispiel (Dijkstra, Ungerichteter Graph):

$S = \{s\},$   
 $S' = \{C, D, E\}$   
 $d(s) = 0,$   
 $d'(C) = 2,$   
 $d'(D) = 1,$   
 $d'(E) = 5$

$S = \{s, D\},$   
 $S' = \{C, E, B\}$   
 $d(D) = 1,$   
 $d'(C) = 2,$   
 $d'(E) = 3,$   
 $d'(B) = 5$



$S = \{s, D, C, A, E\},$   
 $S' = \{B\}$   
 $d(E) = 3$   
 $d'(B) = 4,$

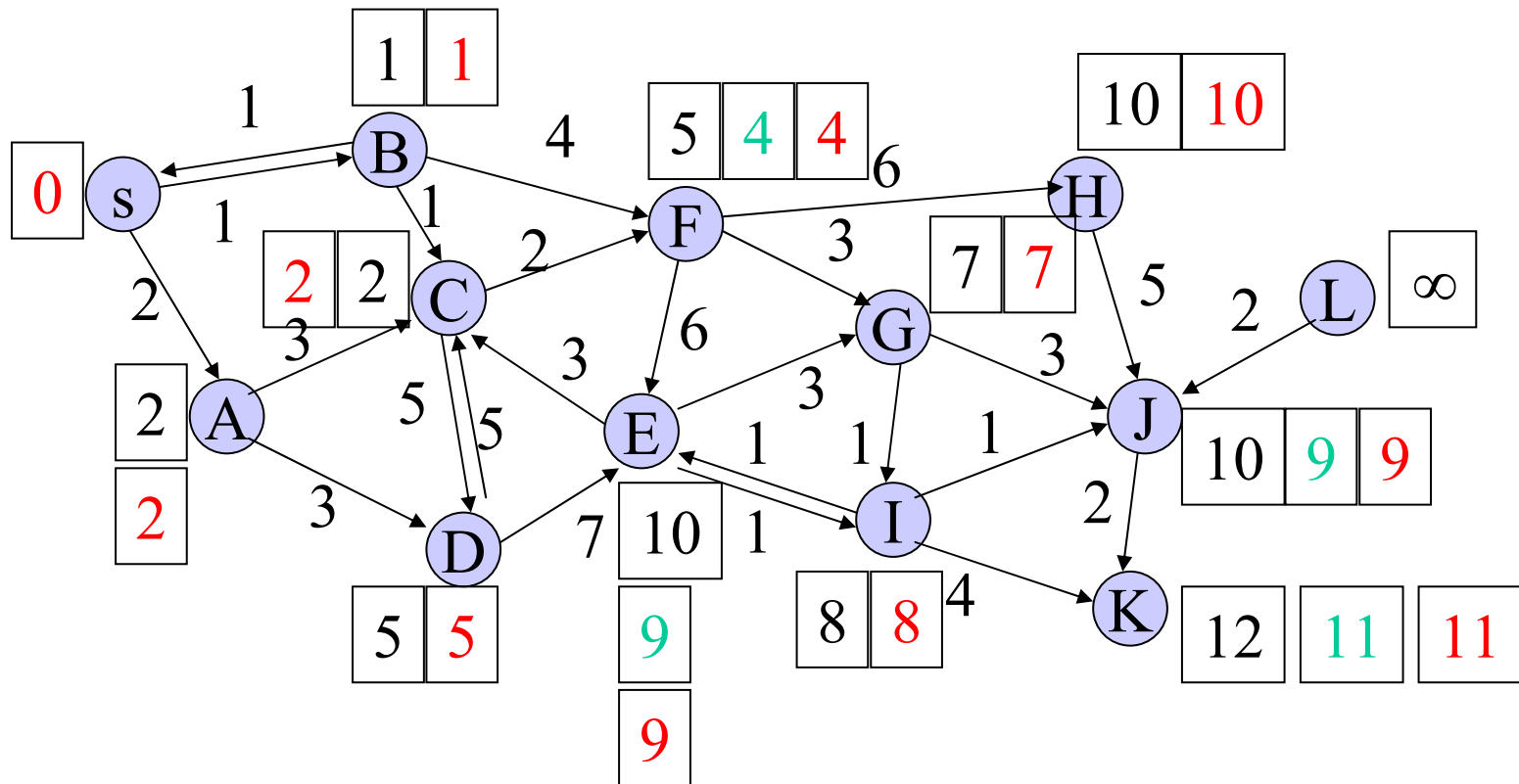
$S = \{s, D, C, A, E, B\},$   
 $d(B) = 4,$

$S = \{s, D, C\},$   
 $S' = \{E, B, A\}$   
 $d(C) = 2,$   
 $d'(B) = 5,$   
 $d'(E) = 3,$   
 $d'(A) = 3$

$S = \{s, D, C, A\},$   
 $S' = \{E, B\}$   
 $d(A) = 3$   
 $d'(B) = 4,$   
 $d'(E) = 3$



# Beispiel (Dijkstra, Gerichteter Graph):



---

Lemma:

Sei  $x \in S'$  so gewählt, dass  $d'(x)$  minimal ist.  
Dann gilt  $d'(x) = \delta(x)$ .

Beweis:

Sei  $p$  ein billigster Weg von  $s$  nach  $x$  derart, dass alle Knoten (bis auf  $x$ ) in  $S$  liegen.

Angenommen, es gäbe einen billigeren Weg  $q$  von  $s$  nach  $x$ .

$q$  muss einen ersten Knoten  $v$  in  $V \setminus S$  haben und nach Wahl von  $x$  ist  $d'(v) \geq d'(x)$ .

Da alle Kanten nichtnegativ sind, gilt aber

$$c(q) \geq d'(v) \geq d'(x) = d(x) = c(p),$$

ein Widerspruch.

□



---

## Zur Laufzeit:

Implementiere  $S$  und  $S'$  als Bitvektoren  
und  $d$  und  $d'$  als Arrays.

- Aufwand für „for all  $u \in \text{OutAdj}(x)$ “:

$$\sum_{x \in V} |\text{OutAdj}(x)| = O(m + n).$$

- $n$ -maliges Minimieren über  $S'$  :  $O(n^2)$ .

Insgesamt ergibt sich Laufzeit  $O(n^2 + m)$ ,  
für dichte Graphen ( $m \approx n^2$ ) ausreichend.



---

## Alternativ:

Speichere  $S'$  in Heap (balancierter Baum), gemäß  $d'$ -Werten geordnet.

Damit Laufzeit  $O((m+n)\log n)$ , da nun Einfügen und Löschen in  $S'$  je  $O(\log n)$  Zeit kostet.

Für dünne Graphen ist dies eine Verbesserung.



---

Satz:

Mit Hilfe des Algorithmus von Dijkstra läßt sich das Single Source Shortest Path Problem in Laufzeiten  $O(n^2)$  bzw.  $O((m + n) \log n)$  lösen.

Mitteilung:

Mit Hilfe sogenannter Fibonacci-Heaps läßt sich die Laufzeit des Algorithmus von Dijkstra asymptotisch zu  $O(n \log n + m)$  verbessern.



---

### 7.3.1.3 Negative Kantenkosten erlaubt, aber keine negativen Zyklen.

→ **Bellman-Ford-Algorithmus**

Das „Entspannen einer Kante  $(v,w)$ “ bezeichnen wir mit  $\text{Relax}((v,w))$ :

$$d(w) \leftarrow \min\{d(w), d(v) + c(v, w)\}$$

Offensichtlich: Entspannen einer Kante erhöht keinen  $d$ -Wert



---

### Lemma:

Falls für alle  $u \in V$  vor dem Entspannen einer beliebigen Kante  $(v,w)$  gilt, dass  $d(u) \geq \delta(u)$ , dann gilt dies auch hinterher.

### Beweis:

Jeder Weg von  $s$  nach  $v$  zusammen mit Kante  $(v,w)$  ergibt Weg von  $s$  nach  $w$ .

Deshalb  $\delta(v) + c(v, w) \geq \delta(w)$ .

Weiterhin:  $\delta(v) + c(v, w) \leq d(v) + c(v, w)$

$$\Rightarrow \delta(w) \leq d(v) + c(v, w)$$

$$\Rightarrow \delta(w) \leq d(w) \quad \text{falls } (v,w) \text{ „echt“ relaxiert.}$$

---

□



---

## Algorithmus:

$d(s) \leftarrow 0;$

for all  $v \neq s$  do

$d(v) \leftarrow \infty$

while „möglich“ do

Entspanne Kanten

od

Beobachtung:  $d(u)$  wird immer kleiner, unterschreitet aber nie  $\delta(u)$ .



---

Offen bleibt noch die Frage nach der „Entspannungs-Reihenfolge“, sodass  $d$  schnell gegen  $\delta$  konvergiert.

Lemma:

Sei  $w \in V$  und sei  $\delta(w) < \infty$  und sei  $(v, w)$  die letzte Kante auf dem billigsten Weg von  $s$  nach  $w$ .

Dann gilt:

Falls  $(v, w)$  entspannt wird, nachdem  $d(v) = \delta(v)$  geworden ist, so ist danach  $d(w) = \delta(w)$ .

Beweis: Übung!



---

## Algorithmus:

$d(s) \leftarrow 0;$

for all  $v \neq s$  do

$d(v) \leftarrow \infty;$

for  $i \leftarrow 1$  to  $n - 1$  do

for all  $(v, w) \in E$  do

Relax  $((v, w));$

Bem.: im Beispiel spielt die Reihenfolge der Kanten in der for all-Schleife eine Rolle, die Aussagen gelten aber für alle Reihenfolgen

## Lemma:

Für  $i=0, \dots, n-1$  gilt:

Nach dem  $i$ -ten Durchlauf der for-Schleife ist  $d(w) = \delta(w)$  für alle  $w \in V$ , für die es einen billigsten Pfad der Länge  $i$  von  $s$  nach  $w$  gibt.



---

## Beweis:

Induktion über  $i$ :

$i = 0$ :  $d(s) = \delta(s)$ , da es keine negativen Zykel gibt.

$i \rightarrow i + 1$ :

Sei  $w$  der Knoten mit billigstem Weg von  $s$  nach  $w$  der Länge  $i+1$  und sei  $(v,w)$  die letzte Kante auf diesem Weg.

Also gibt es billigsten Weg von  $s$  nach  $v$  der Länge  $i$  und nach Induktionsannahme ist nach dem  $i$ -ten Durchlauf der for-Schleife  $d(v) = \delta(v)$ . Im  $(i+1)$ -ten Durchlauf wird insbesondere  $(v,w)$  entspannt:

$$\begin{aligned}\Rightarrow d(w) &= d(v) + c((v, w)) \\ &= \delta(v) + c((v, w)) \\ &= \delta(w)\end{aligned}$$

□



---

### Korollar:

Nach dem  $(n-1)$ -ten Schleifendurchlauf gilt für alle  $v$  aus  $V$ , dass  $d(v) = \delta(v)$ .

### Beweis:

Nach obigem Lemma und der Annahme der Nichtexistenz negativer Zyklen folgt, dass alle billigsten Wege Länge höchstens  $n-1$  haben.

□

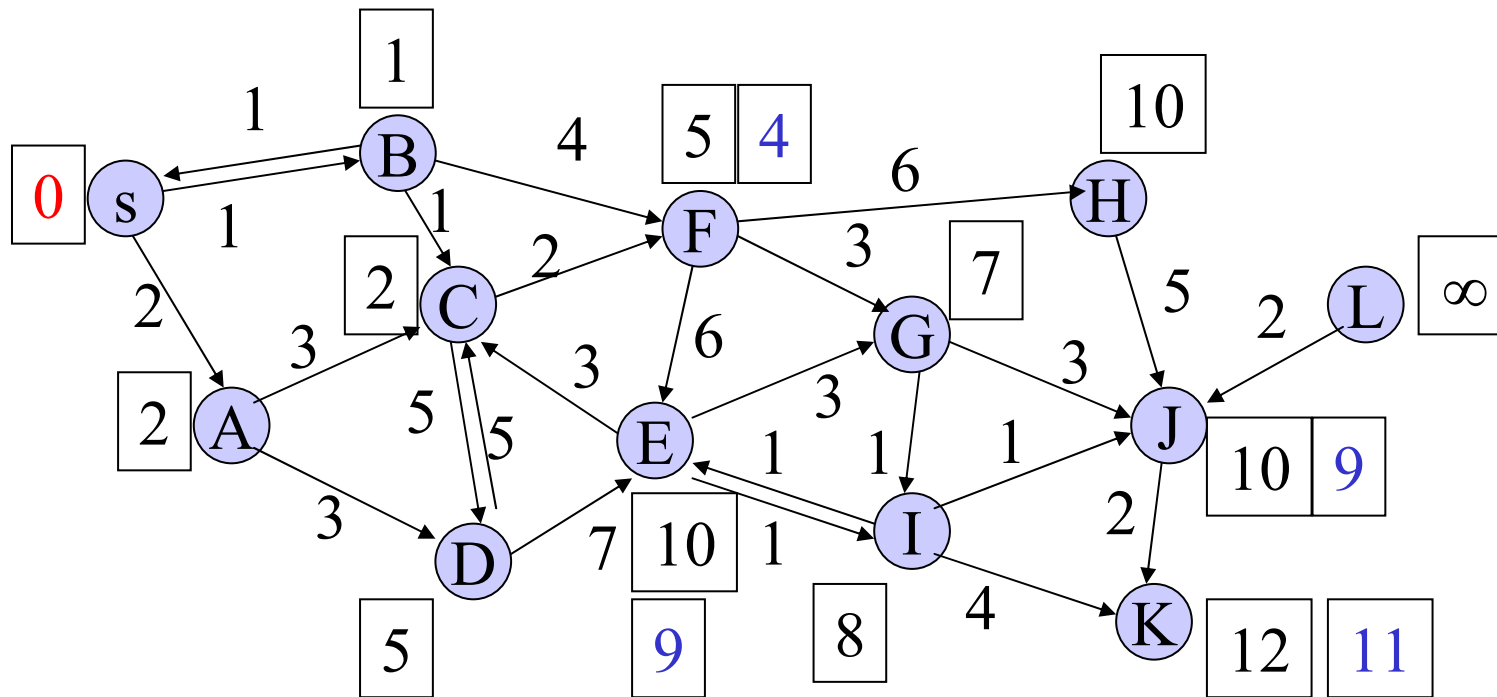
### Insgesamt:

### Satz:

In Laufzeit  $O(n \cdot m)$  läßt sich das Single Source Shortest Path Problem lösen, falls der Graph keine negativen Zyklen enthält.



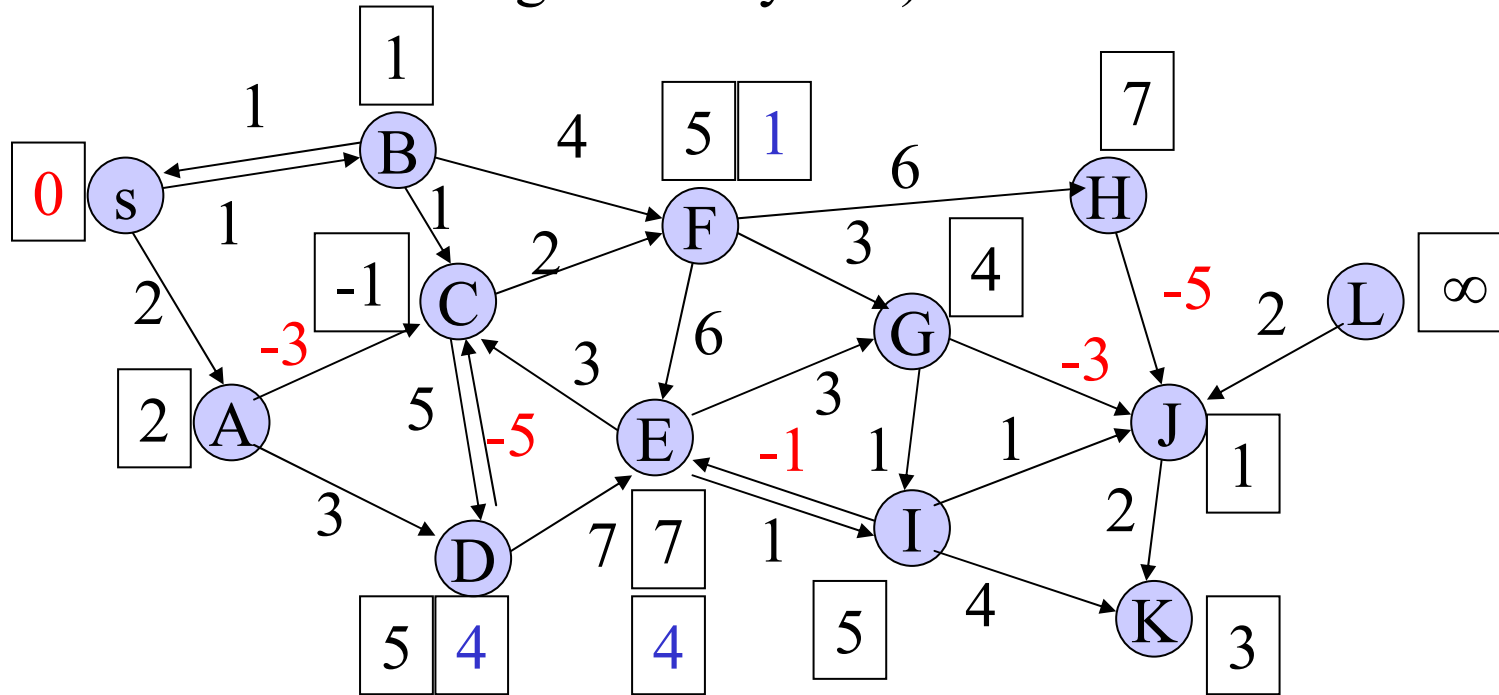
Beispiel (Bellmann-Ford, Gerichteter Graph, positive Kanten):



$i = 1, i = 2, i = 3, i = 4, i = 5, i = 6, i = 7, i = 8,$



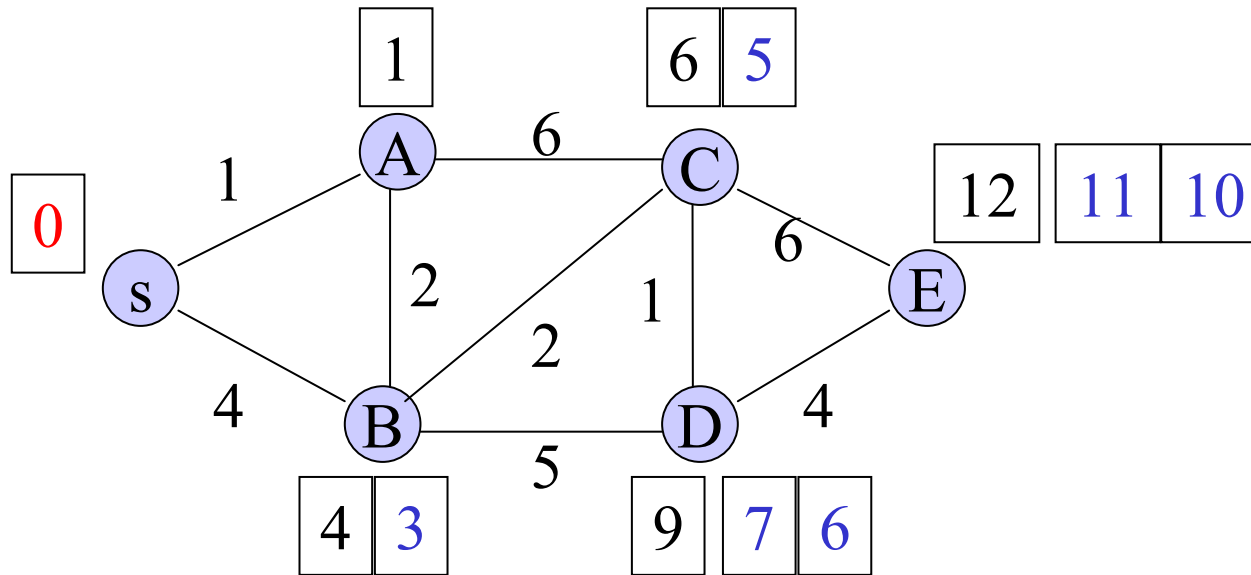
Beispiel (Bellmann-Ford, Gerichteter Graph, negative Kanten, aber keine negativen Zyklen):



$i = 1, i = 2, i = 3, i = 4, i = 5, i = 6, i = 7, i = 8,$



Beispiel (Bellmann-Ford, Ungerichteter Graph, positive Kanten):



$i = 1, i = 2, i = 3, i = 4, i = 5,$

Warum braucht der Algorithmus hier  $n-1$  Iterationen bis zur Konvergenz?

Welches wäre der einfachste Graph mit dieser Eigenschaft?



---

### 7.3.1.4: Auch negative Zyklen erlaubt.

#### Algorithmus:

- ① Führe zuerst die  $n-1$  for-Schleifendurchläufe des Algorithmus von Bellman-Ford aus und merke in  $d_1$  die so erzielten  $d$ -Werte.
- ② Führe  $n$  weitere for-Schleifendurchläufe aus und speichere das Ergebnis in  $d_2$ .



---

### Lemma:

Für  $w \in V$  gilt :

i)  $d_2(w) = d_1(w) \Rightarrow \delta(w) = d_1(w)$

ii)  $d_2(w) < d_1(w) \Rightarrow \delta(w) = -\infty$

Beweis: Übung!

### Bemerkung:

Wenn sich nach nur einem weiteren Durchlauf der for-Schleife nach Abschluss von ① noch etwas ändert, so gibt es einen negativen Zyklus, sonst aber nicht.

Um aber alle Zyklen entdecken zu können, benötigt man in ② insgesamt  $n$  Durchläufe.



## 7.3.2 All Pairs Shortest Paths (Floyd-Warshall)

Annahme: Keine negativen Zyklen.

$$V = \{1, 2, \dots, n\}$$

Für  $i, j \in V$  und  $0 \leq k \leq n$  definiere

$\delta_k(i, j) :=$  Kosten des billigsten Weges von  $i$  nach  $j$ ,  
dessen innere Knoten  $\leq k$  sind.

Beispiel:

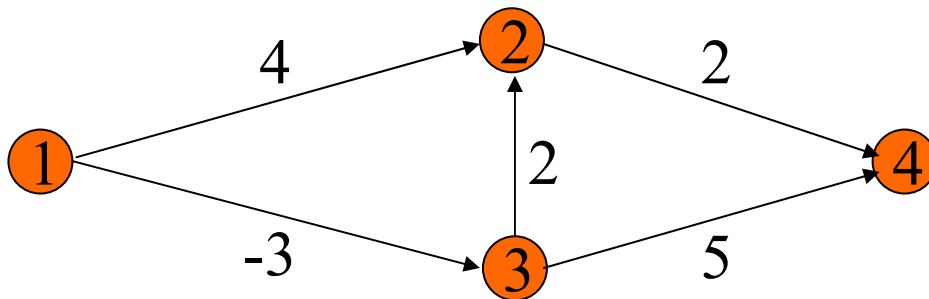
$$\delta_0(1, 4) = \infty$$

$$\delta_1(1, 4) = \infty$$

$$\delta_2(1, 4) = 6$$

$$\delta_3(1, 4) = 1$$

$$\delta_4(1, 4) = 1$$



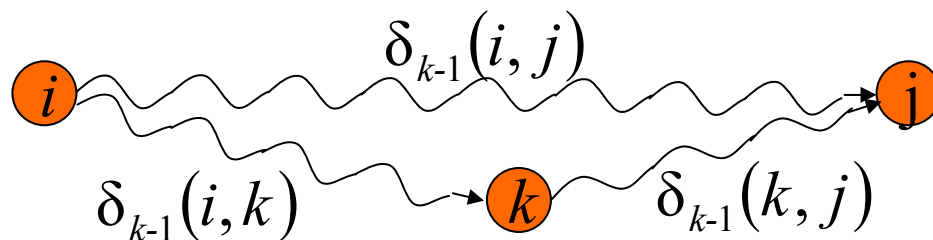
---

Also: 
$$\delta_0(i, j) = \begin{cases} c(i, j), & \text{falls } (i, j) \in E. \\ 0 & , \text{ falls } i = j. \\ \infty & , \text{ sonst.} \end{cases}$$

$\delta_n(i, j) = \delta(i, j) =$  Kosten des billigsten Weges von  $i$  nach  $j$ .

Frage: Wie berechnet sich  $\delta_k$  aus  $\delta_{k-1}$  ?

2 Möglichkeiten: Entweder  $k$  Teil eines billigeren Weges oder nicht:



Also gilt: 
$$\delta_k(i, j) = \min\{\delta_{k-1}(i, j), \delta_{k-1}(i, k) + \delta_{k-1}(k, j)\}$$



---

## Algorithmus (Floyd-Warshall):

for all  $i, j \in V$  do

$$\delta_0(i, j) \leftarrow \begin{cases} c(i, j), & \text{falls } (i, j) \in E \\ 0 & , \text{ falls } i = j \\ \infty & , \text{ sonst} \end{cases} ;$$

od

for  $k = 1$  to  $n$  do

for  $i = 1$  to  $n$  do

for  $j = 1$  to  $n$  do

$$\delta_k(i, j) \leftarrow \min \{ \delta_{k-1}(i, j), \delta_{k-1}(i, k) + \delta_{k-1}(k, j) \}$$

od

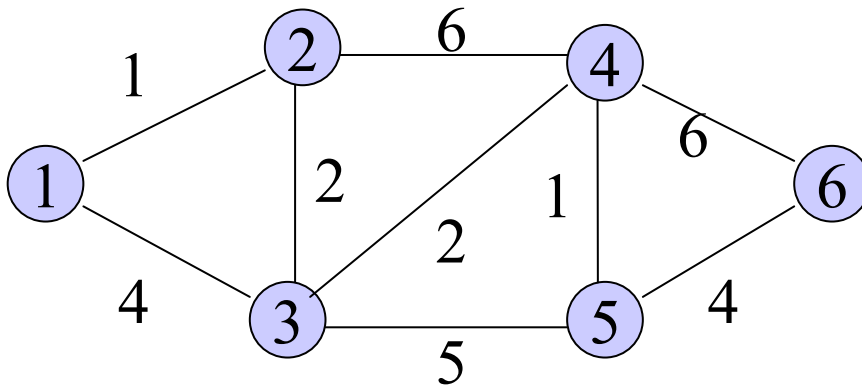
od

od

Laufzeit:  $O(n^3)$



Beispiel (Floyd-Warshall, Ungerichteter Graph, positive Kanten):



$$D_0 = \begin{matrix} & 1 & 2 & 3 & 4 & 5 & 6 \\ \begin{matrix} 1 \\ 2 \\ 3 \\ 4 \\ 5 \\ 6 \end{matrix} & 0 & 1 & 4 & u & u & u \\ & 1 & 0 & 2 & 6 & u & u \\ & 4 & 2 & 0 & 2 & 5 & u \\ & u & 6 & 2 & 0 & 1 & 6 \\ & u & u & 5 & 1 & 0 & 4 \\ & u & u & u & 6 & 4 & 0 \end{matrix}$$

$D_1 = D_0$

$$D_2 = \begin{matrix} & 1 & 2 & 3 & 4 & 5 & 6 \\ \begin{matrix} 1 \\ 2 \\ 3 \\ 4 \\ 5 \\ 6 \end{matrix} & 0 & 1 & 3 & 7 & u & u \\ & 1 & 0 & 2 & 6 & u & u \\ & 3 & 2 & 0 & 2 & 5 & u \\ & 7 & 6 & 2 & 0 & 1 & 6 \\ & u & u & 5 & 1 & 0 & 4 \\ & u & u & u & 6 & 4 & 0 \end{matrix}$$

$$D_3 = \begin{matrix} & 1 & 2 & 3 & 4 & 5 & 6 \\ \begin{matrix} 1 \\ 2 \\ 3 \\ 4 \\ 5 \\ 6 \end{matrix} & 0 & 1 & 3 & 5 & 8 & u \\ & 1 & 0 & 2 & 4 & 7 & u \\ & 3 & 2 & 0 & 2 & 5 & u \\ & 5 & 4 & 2 & 0 & 1 & 6 \\ & 8 & 7 & 5 & 1 & 0 & 4 \\ & u & u & u & 6 & 4 & 0 \end{matrix}$$

$$D_4 = \begin{matrix} & 1 & 2 & 3 & 4 & 5 & 6 \\ \begin{matrix} 1 \\ 2 \\ 3 \\ 4 \\ 5 \\ 6 \end{matrix} & 0 & 1 & 3 & 5 & 6 & 11 \\ & 1 & 0 & 2 & 4 & 5 & 10 \\ & 3 & 2 & 0 & 2 & 3 & 8 \\ & 5 & 4 & 2 & 0 & 1 & 6 \\ & 6 & 5 & 3 & 1 & 0 & 4 \\ & 11 & 10 & 8 & 6 & 4 & 0 \end{matrix} \quad \text{u.s.w.}$$


---

## Alternativer Algorithmus:

Benutze Algorithmus von Dijkstra bzw. Bellman-Ford

Idee: Führe  $n$ -mal für alle möglichen Startknoten Bellman-Ford-Algorithmus aus.

Laufzeit :  $O(n \cdot nm)$

Beobachtung:

Es reicht sogar, einmal Bellman-Ford und  $(n-1)$ -mal Dijkstra auszuführen.

Laufzeit :  $O(n \cdot (n + m) \log n)$



---

### 7.3.3 All Pairs Shortest Paths (Matrixmultiplikation)

Annahme: Keine negativen Zyklen.

$$G = (V, E), \quad V = \{1, 2, \dots, n\}$$

Wir wissen (Lemma): Wenn ein Pfad von  $i$  über  $k$  nach  $j$  der kürzeste Pfad von  $i$  nach  $j$  ist, dann sind auch die Pfade von  $i$  nach  $k$  und von  $k$  nach  $j$  jeweils kürzeste Pfade.

Sei  $G$  als Adjazenzmatrix  $W = (w_{ij})$  repräsentiert.

Sei  $p$  ein kürzester Pfad von  $i$  nach  $j$  mit  $m$  Kanten.

Es gilt:  $m < n$ .

Falls  $i = j$ , dann hat  $p$  die Länge 0 und keine Kanten.

Falls  $i \neq j$ , dann zerlegen wir  $p$  in Pfad  $p'$  von  $i$  nach  $k$  und Kante  $(k, j)$ , wobei  $p'$  dann  $m-1$  Kanten hat. Es gilt:

$$\delta(i, j) = \delta(i, k) + w_{kj}$$



---

Sei  $l_{ij}^{(m)}$  der kürzeste Pfad zwischen Knoten  $i$  und  $j$ , der höchstens  $m$  Kanten hat. Für  $m = 0$  gilt

$$l_{ij}^{(0)} = \begin{cases} 0 & \text{falls } i = j \\ \infty & \text{sonst} \end{cases}$$

Für  $m \geq 1$  berechnen wir

$$\begin{aligned} l_{ij}^{(m)} &= \min\left(l_{ij}^{(m-1)}, \min_{1 \leq k \leq n} \left\{ l_{ik}^{(m-1)} + w_{kj} \right\}\right) \\ &= \min_{1 \leq k \leq n} \left\{ l_{ik}^{(m-1)} + w_{kj} \right\} \end{aligned} \quad \text{denn } w_{jj} = 0 \text{ für alle } j$$

Da ein kürzester Weg von  $i$  nach  $j$  höchstens  $n-1$  Kanten hat, gilt

$$\delta(i, j) = l_{ij}^{(n-1)} = l_{ij}^{(n)} = l_{ij}^{(n+1)} = \dots$$



---

Wir berechnen also die  $l_{ij}^{(m)}$  in einer Folge von Matrizen  $L^{(1)}, L^{(2)}, \dots, L^{(n-1)}$ , mit  $L^{(m)} = (l_{ij}^{(m)})$ .

## Algorithmus Slow-All-Pairs-Shortest-Paths ( $W$ )

1)  $L^{(\text{old})} := W$

2) for  $m := 2$  to  $n-1$  do begin

Zeitaufwand:  $O(n^4)$

3)     for  $i := 1$  to  $n$  do

4)         for  $j := 1$  to  $n$  do begin

5)              $l_{ij}^{(\text{new})} := \infty$

6)             for  $k := 1$  to  $n$  do

7)                  $l_{ij}^{(\text{new})} := \min(l_{ij}^{(\text{new})}, l_{ik}^{(\text{old})} + w_{kj})$

8)             end

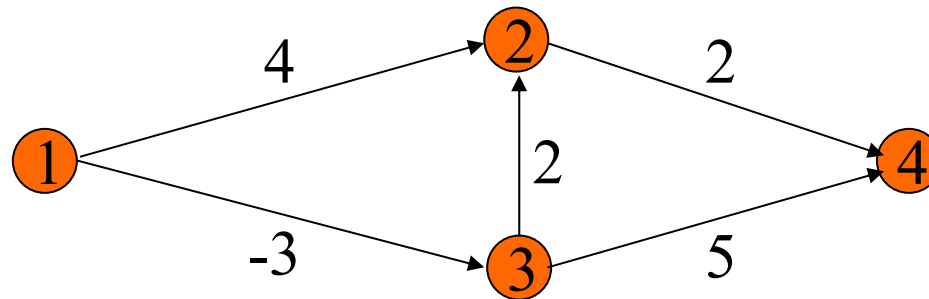
9)      $L^{(\text{old})} := L^{(\text{new})}$

10) end

Verwendung von  
nur zwei Matrizen  
 $L^{(\text{new})}$  und  $L^{(\text{old})}$



Beispiel:



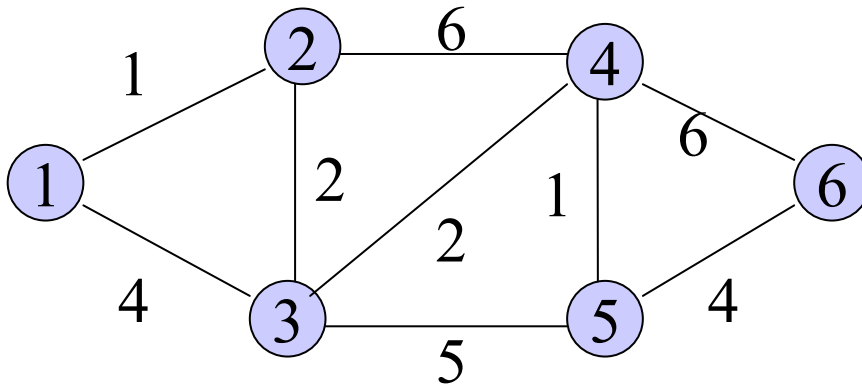
$$L^{(1)} = \begin{bmatrix} 0 & 4 & -3 & \infty \\ \infty & 0 & \infty & 2 \\ \infty & 2 & 0 & 5 \\ \infty & \infty & \infty & 0 \end{bmatrix}$$

$$L^{(2)} = \begin{bmatrix} 0 & -1 & -3 & 2 \\ \infty & 0 & \infty & 2 \\ \infty & 2 & 0 & 4 \\ \infty & \infty & \infty & 0 \end{bmatrix}$$

$$L^{(3)} = \begin{bmatrix} 0 & -1 & -3 & 1 \\ \infty & 0 & \infty & 2 \\ \infty & 2 & 0 & 4 \\ \infty & \infty & \infty & 0 \end{bmatrix}$$



# Beispiel (Matrixmultiplikationsalgorithmus):



$$L^1 = W = \begin{matrix} 0 & 1 & 4 & u & u & u \\ 1 & 0 & 2 & 6 & u & u \\ 4 & 2 & 0 & 2 & 5 & u \\ u & 6 & 2 & 0 & 1 & 6 \\ u & u & 5 & 1 & 0 & 4 \\ u & u & u & 6 & 4 & 0 \end{matrix}$$

$$L^2 = \begin{matrix} 0 & 1 & 3 & 6 & 9 & u \\ 1 & 0 & 2 & 4 & 7 & 12 \\ 3 & 2 & 0 & 2 & 3 & 8 \\ 6 & 4 & 2 & 0 & 1 & 5 \\ 9 & 7 & 3 & 1 & 0 & 4 \\ u & 12 & 8 & 5 & 4 & 0 \end{matrix}$$

$$L^3 = \begin{matrix} 0 & 1 & 3 & 5 & 7 & 12 \\ 1 & 0 & 2 & 4 & 5 & 10 \\ 3 & 2 & 0 & 2 & 3 & 7 \\ 5 & 4 & 2 & 0 & 1 & 5 \\ 7 & 5 & 3 & 1 & 0 & 4 \\ 12 & 10 & 7 & 5 & 4 & 0 \end{matrix}$$

$$L^4 = \begin{matrix} 0 & 1 & 3 & 5 & 6 & 11^{10} \\ 1 & 0 & 2 & 4 & 5 & 9 \\ 3 & 2 & 0 & 2 & 3 & 7 \\ 5 & 4 & 2 & 0 & 1 & 5 \\ 6 & 5 & 3 & 1 & 0 & 4 \\ 11 & 9 & 7 & 5 & 4 & 0 \end{matrix}$$

$$L^5: 10$$



---

Geht es auch schneller? Ja, durch Quadrierung!

Bisher hatten wir berechnet:

$$L(1) = L(0) * W = W$$

$$L(2) = L(1) * W = W^2$$

$$L(3) = L(2) * W = W^3$$

...

$$L(n-1) = L(n-2) * W = W^{n-1}$$

Jetzt berechnen wir schneller:

$$L(1) = W = W$$

$$L(2) = W * W = W^2$$

$$L(4) = W^2 * W^2 = W^4$$

$$L(8) = W^4 * W^4 = W^8$$

...



---

## Algorithmus Fast-All-Pairs-Shortest-Paths ( $W$ )

- 1)  $L^{(\text{old})} := W$
- 2)  $m := 1$
- 3) while  $m < n-1$  do
- 4)     for  $i := 1$  to  $n$  do
- 5)         for  $j := 1$  to  $n$  do begin
- 6)              $l_{ij}^{(\text{new})} := \infty$
- 7)             for  $k := 1$  to  $n$  do
- 8)                  $l_{ij}^{(\text{new})} := \min(l_{ij}^{(\text{new})}, l_{ik}^{(\text{old})} + l_{kj}^{(\text{old})})$
- 9)             end
- 10)      $m := 2m$
- 11)      $L^{(\text{old})} := L^{(\text{new})}$
- 12) endwhile

Zeitaufwand:  $O(n^3 \log n)$ ,  
das ist aber immer noch  
langsamer als der  
Floyd-Warshall-Algorithm.



---

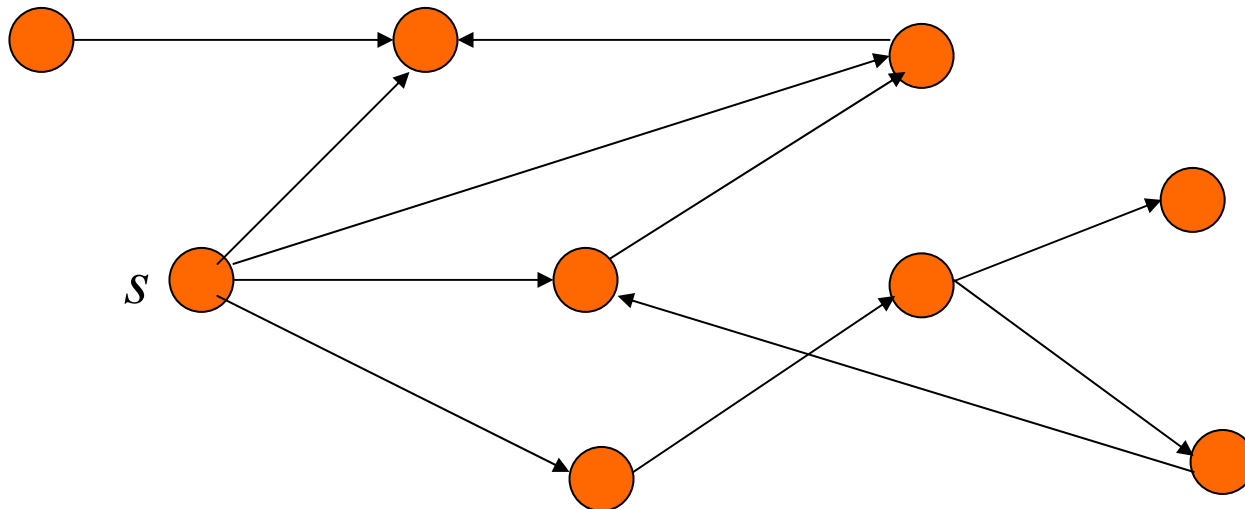
## 7.4 Depth First Search (Tiefensuche)

→ Durchmusterung von Graphen.

Wichtige Eigenschaften:

Mit DFS Graph systematisch von einem Knoten  $s$  aus zu durchmustern, dabei immer zuerst „in die Tiefe“.

Beispiel:



---

## Rekursion:

```
procedure DFS ( $s$ )  
    besucht [ $s$ ]  $\leftarrow$  true;  
    drucke ( $s$ );  
    for all ( $s, v$ )  $\in E$  do  
        if not besucht [ $v$ ]  
            then DFS( $v$ )  
        fi;  
    od
```



---

DFS teilt die Kanten des Graphen in vier Klassen ein, je nach Art des Besuchs:

Wir betrachten gerade die gerichtete Kante  $(v, w)$ :

1.  $(v, w)$  gehört zu **Baumkanten**  $T$ , falls  $w$  noch nicht besucht.
2.  $(v, w)$  gehört zu **Vorwärtskanten**  $F$ , falls  $w$  schon besucht und „ $v \xrightarrow{T}^* w$ “, d.h.  $\exists$  Pfad von  $v$  nach  $w$  bestehend aus lauter Baumkanten.
3.  $(v, w)$  gehört zu **Rückwärtskanten**  $B$ , falls  $w$  schon besucht und  $w \xrightarrow{T}^* v$ .
4.  $(v, w)$  gehört zu **Queranten**  $C$ , falls  $w$  schon besucht, aber weder  $v \xrightarrow{T}^* w$  noch  $w \xrightarrow{T}^* v$ .



---

Erweiterung um  $\text{dfsnum}(v)$  und  $\text{compnum}(v)$ :

- $\text{dfsnum}(v)$ : Reihenfolge der rekursiven DFS-Aufrufe.
- $\text{compnum}(v)$ : Abschlussreihenfolge der DFS-Aufrufe.

Hauptprogramm:

```
for all  $v \in V$  do besucht[ $v$ ]  $\leftarrow$  false od;  
 $z1 \leftarrow z2 \leftarrow 0$ ;  
 $T \leftarrow B \leftarrow F \leftarrow C \leftarrow \emptyset$ ;  
for all  $v \in V$  do  
    if not besucht[ $v$ ] then DFS( $v$ ) fi  
od
```



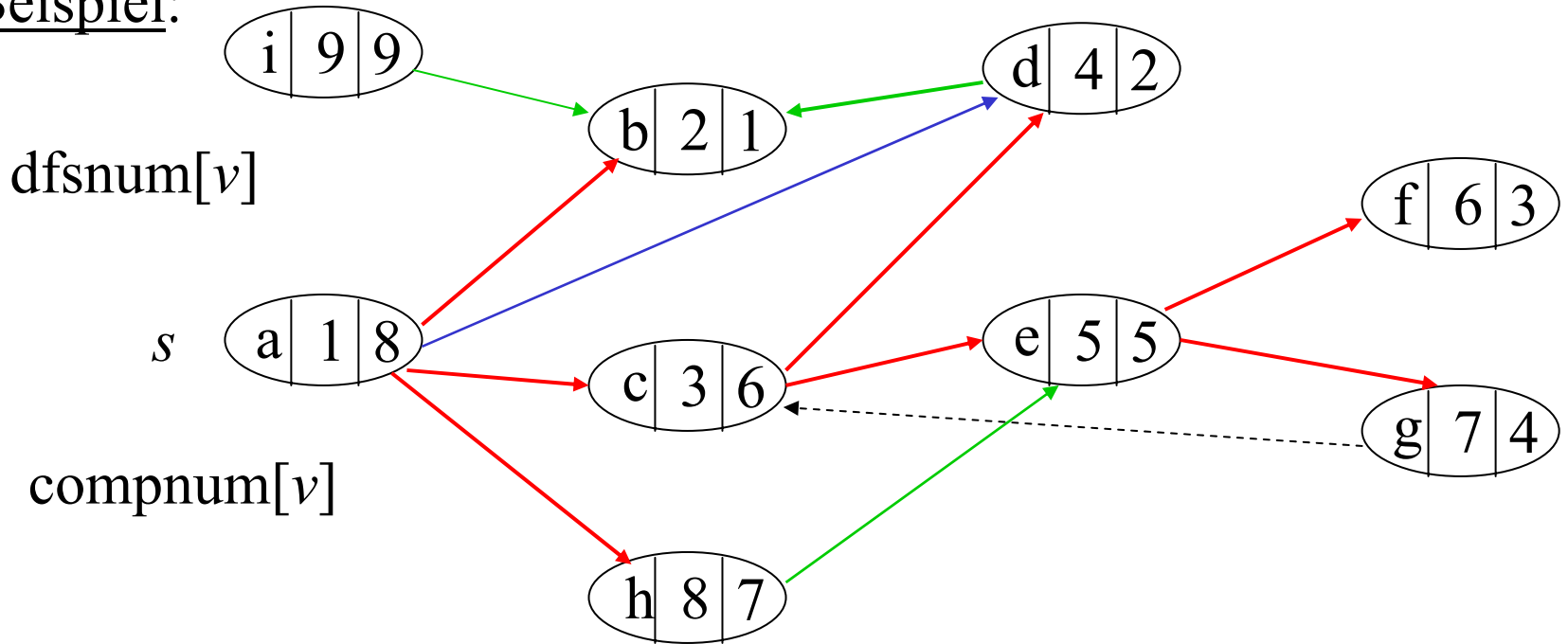
---

Für die Implementierung brauchen wir 2 Zähler  $z1, z2$ :

```
(1) procedure DFS( $v$ )
(2)   besucht[ $v$ ]  $\leftarrow$  true;  $z1 \leftarrow z1 + 1$ 
(3)   dfsnum[ $v$ ]  $\leftarrow$   $z1$ ;
(4)   for all  $(v, w) \in E$  do
(5)     if not besucht[ $w$ ] then  $T \leftarrow T \cup \{(v, w)\}$ 
(6)     DFS( $w$ )
(7)     else if  $v \xrightarrow[T]{*} w$  then  $F \leftarrow F \cup \{(v, w)\}$ 
(8)     else if  $w \xrightarrow[T]{*} v$  then  $B \leftarrow B \cup \{(v, w)\}$ 
(9)     else  $C \leftarrow C \cup \{(v, w)\}$ 
(10)    fi
(11)   fi
(12)  fi
(13)  od
(14)   $z2 \leftarrow z2 + 1$ ;
(15)  compnum[ $v$ ]  $\leftarrow$   $z2$ 
```



Beispiel:



Laufzeit:

$O(n+m)$

da

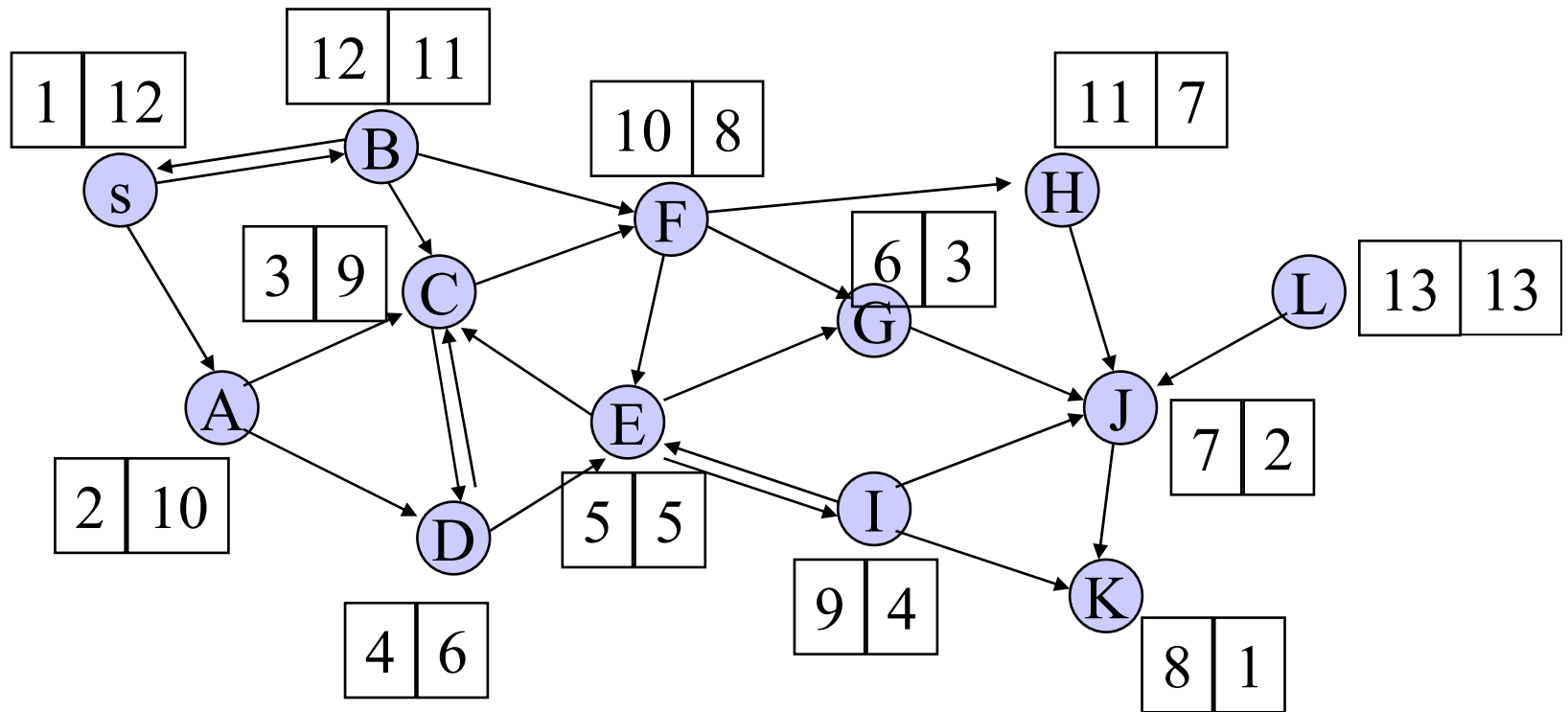
a) Einzellaufzeit eines Aufrufs (ohne Rekursion)  
ist  $O(1+\text{outdeg}(v))$

b) für jeden Knoten einmal DFS-Aufruf

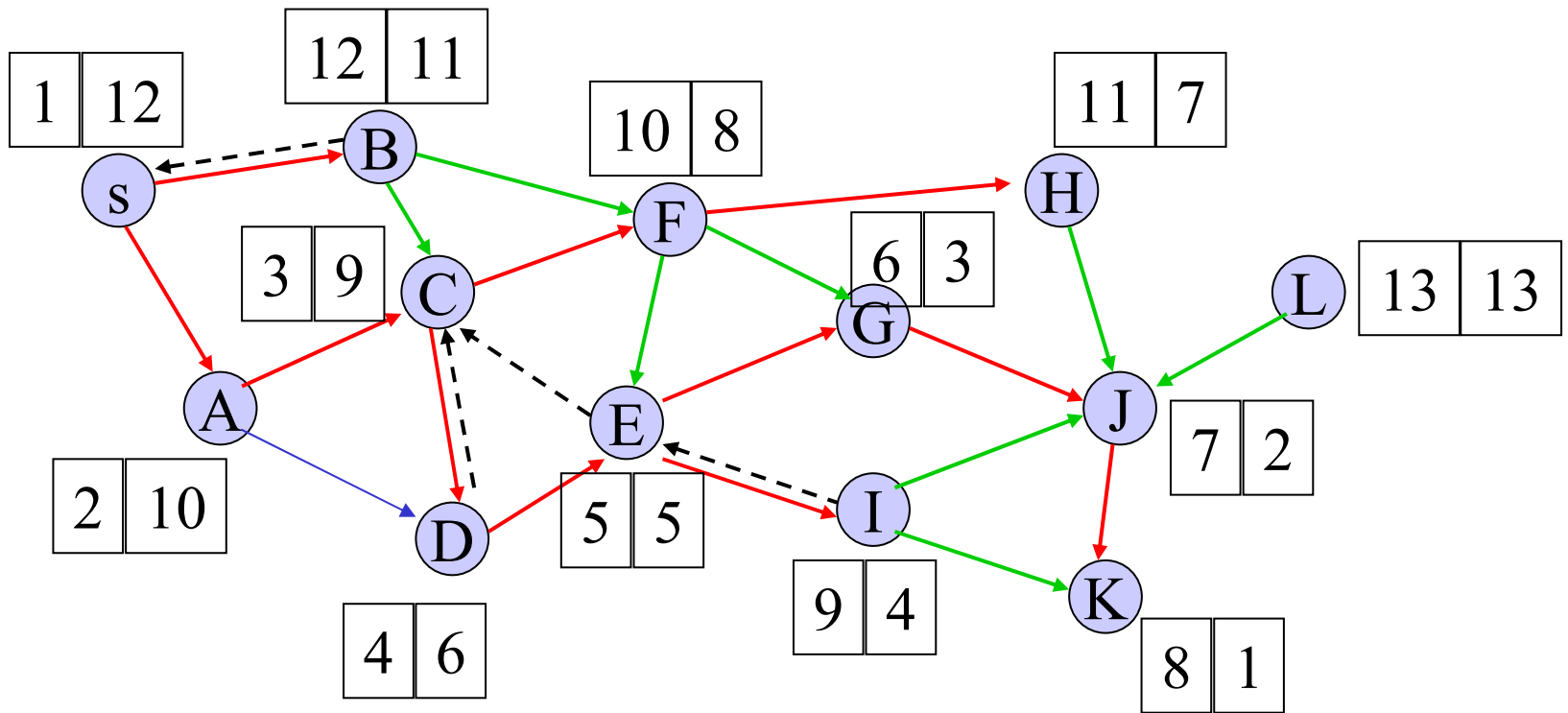
$$\Rightarrow O\left(\sum_{v \in V} (1 + \text{outdeg}(v))\right) = O(n + m).$$



## Beispiel (Klassifikation der Kanten durch DFS):



## Beispiel (Klassifikation der Kanten durch DFS):



Lemma (Eigenschaften, Teil 1):

- a) Kantenklassen  $T, B, F, C$  bilden Partition der Kantenmenge  $E$
- b)  $T$  entspricht dem Wald der rekursiven Aufrufe
- c)  $v \xrightarrow{T}^* w$  gdw.  $\text{dfsnum}[v] \leq \text{dfsnum}[w]$  und  $\text{compnum}[w] \leq \text{compnum}[v]$ .

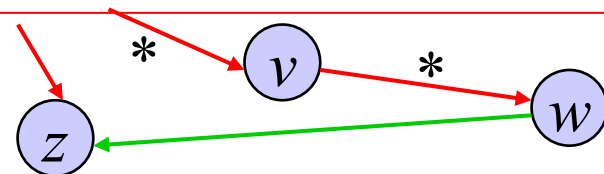
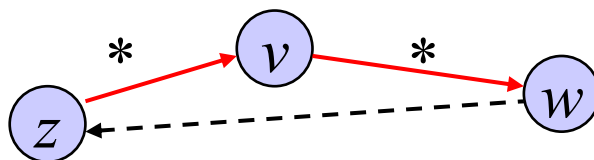
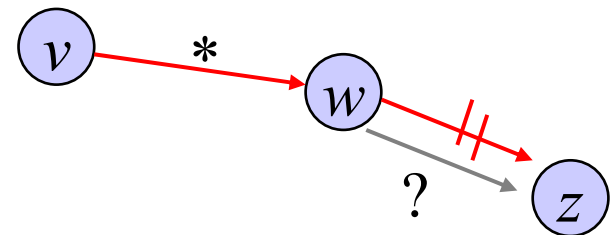
d) Seien  $v, w, z \in V$  mit  $v \xrightarrow{T}^* w$ ,  $(w, z) \in E$  und  $\neg(v \xrightarrow{T}^* z)$ , dann

i)  $\text{dfsnum}[z] < \text{dfsnum}[v]$

ii)  $(w, z) \in B \cup C$

iii)  $\text{compnum}[z] > \text{compnum}[v]$  gdw.  $(w, z) \in B$ .

iv)  $\text{compnum}[z] < \text{compnum}[v]$  gdw.  $(w, z) \in C$ .



Beweis: a), b) klar: direkt aus Algorithmus.

$$\begin{aligned} \text{c) } v \xrightarrow{T}^* w &\Leftrightarrow \text{Aufruf DFS}(w) \text{ geschachtelt in DFS}(v) \\ &\Leftrightarrow \text{dfsnum}[v] \leq \text{dfsnum}[w] \text{ und} \\ &\quad \text{compnum}[v] \geq \text{compnum}[w]. \end{aligned}$$

- d) •  $v \xrightarrow{T}^* w \Rightarrow \text{dfsnum}[v] \leq \text{dfsnum}[w]$   
•  $(w, z) \in E \Rightarrow \text{DFS}(z)$  wird aufgerufen, bevor  $\text{DFS}(w)$  endet, und auch bevor  $\text{DFS}(v)$  endet.  
•  $\neg(v \xrightarrow{T}^* z) \Leftrightarrow \text{DFS}(z)$  *nicht* in  $\text{DFS}(v)$  geschachtelt  
 $\Rightarrow \text{DFS}(z)$  startet vor Aufruf  $\text{DFS}(v)$ .

$$\Rightarrow \text{dfsnum}[z] < \text{dfsnum}[v] \quad (\text{i})$$

$$\text{e) (Teil 2)} \rightarrow (w, z) \in B \cup C \quad (\text{ii})$$

$$(w, z) \in B \Leftrightarrow z \xrightarrow{T}^* w \text{ nach Definition von } B$$

$$\Leftrightarrow z \xrightarrow{T}^* v \text{ da } v \xrightarrow{T}^* w \text{ und } \neg(v \xrightarrow{T}^* z)$$

$$\Leftrightarrow \text{compnum}[z] > \text{compnum}[v] \quad (\text{iii})$$

$$\xrightarrow{(\text{ii}), (\text{iii})} (\text{iv})$$

□



## Lemma (Eigenschaften, Teil 2):

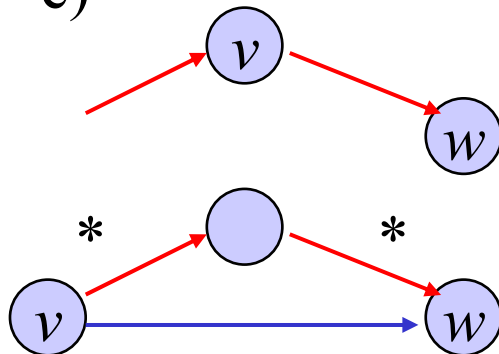
Sei  $(v, w) \in E$  :

e)  $(v, w) \in T \cup F \Leftrightarrow \text{dfsnum}[v] \leq \text{dfsnum}[w]$ .

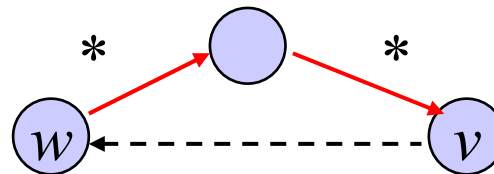
f)  $(v, w) \in B \Leftrightarrow \text{dfsnum}[w] < \text{dfsnum}[v]$  und  
 $\text{compnum}[w] > \text{compnum}[v]$ .

g)  $(v, w) \in C \Leftrightarrow \text{dfsnum}[w] < \text{dfsnum}[v]$  und  
 $\text{compnum}[w] < \text{compnum}[v]$ .

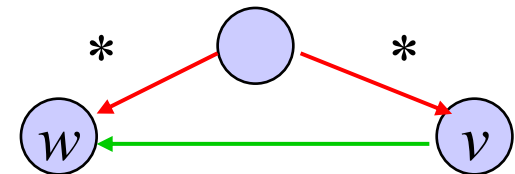
e)



f)



g)



$w$  vor  $v$   
besucht



---

Beweis:

e)  $(v, w) \in T \cup F \Rightarrow v \xrightarrow[T]{*} w \Rightarrow \text{dfsnum}[v] \leq \text{dfsnum}[w]$

Sei  $\text{dfsnum}[v] \leq \text{dfsnum}[w]$ .

Da  $(v, w) \in E$ , muss  $\text{DFS}(w)$  vor Abschluss von  $\text{DFS}(v)$  aufgerufen werden.

$\Rightarrow$  echte Schachtelung  
 $v \xrightarrow[T]{*} w$

$\Rightarrow (v, w) \in T \cup F$

f), g) folgen aus d) und e) ...

□



---

## Bemerkungen:

- $T, B, F, C$  werden im wesentlichen durch  $\text{dfsnum}$ ,  $\text{compnum}$  festgelegt (vgl. Lemma!)
- In azyklischen Graphen gibt es keine Rückwärtskanten, d.h.  
 $\forall (v, w) \in E : \text{compnum}[v] > \text{compnum}[w]$   
 $\Rightarrow$  Nummerierung  $\text{num}(v) := n + 1 - \text{compnum}[v]$   
ergibt topologische Sortierung.

## Mitteilung:

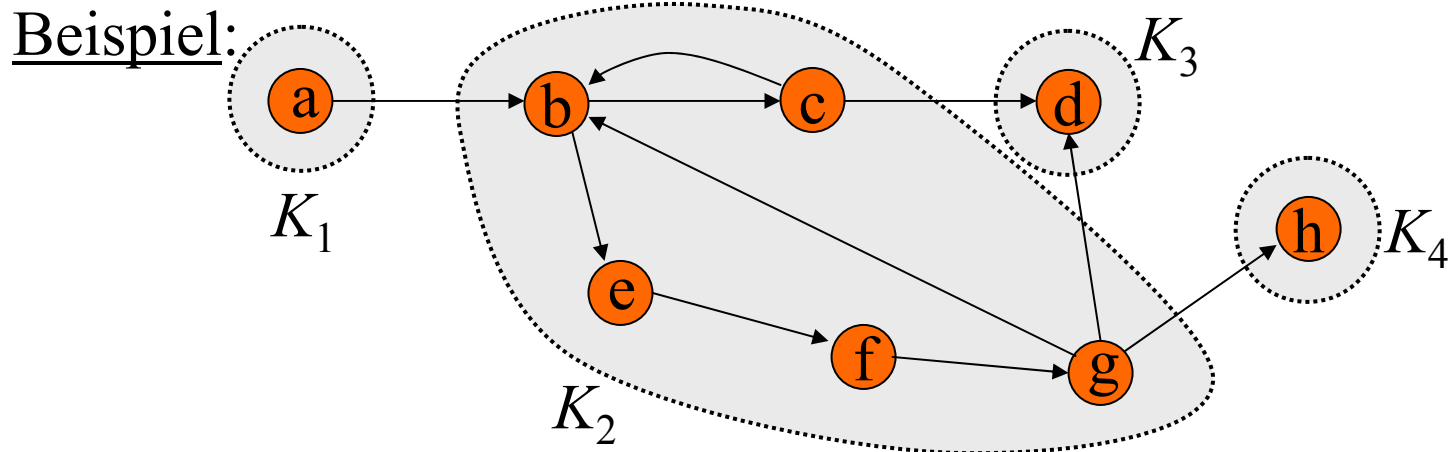
Zusammenhangskomponenten in ungerichteten Graphen können mit Hilfe von DFS in Zeit  $O(n+m)$  berechnet werden.



## Starke Zusammenhangskomponenten

Ein gerichteter Graph  $G=(V,E)$  heißt **stark zusammenhängend** gdw.  $\forall v, w \in V : v \xrightarrow[E]{*} w$ .

Die maximalen (bzgl. Mengeninklusion) stark zusammenhängenden Teilgraphen von  $G$  heißen **starke Zusammenhangskomponenten (SZK's)**.



Idee für Algorithmus:      Erweitere DFS:

Sei  $G' = (V', E')$  bisher erforschter Teilgraph von  $G$ .

Verwalte die SZK's von  $G$  :

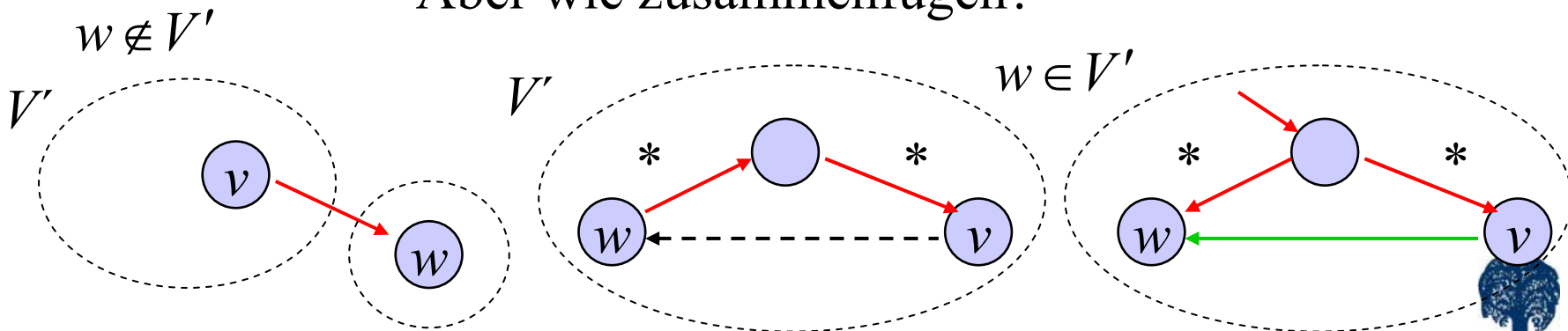
Starte mit  $V' = \{a\}$ ,  $E' = \emptyset$ ,  $SZK = \{\{a\}\}$ .

Sei  $(v, w)$  die nächste Kante in DFS. Dann ist  $v \in V'$ .

Ist  $w \notin V'$ , d.h.  $(v, w) \in T$ , dann erweitere SZK um  $\{w\}$ .

Ist  $w \in V'$ , dann füge mehrere SZK's zu einer zusammen  
(falls  $(v, w) \in B \cup C$ )

Aber wie zusammenfügen?



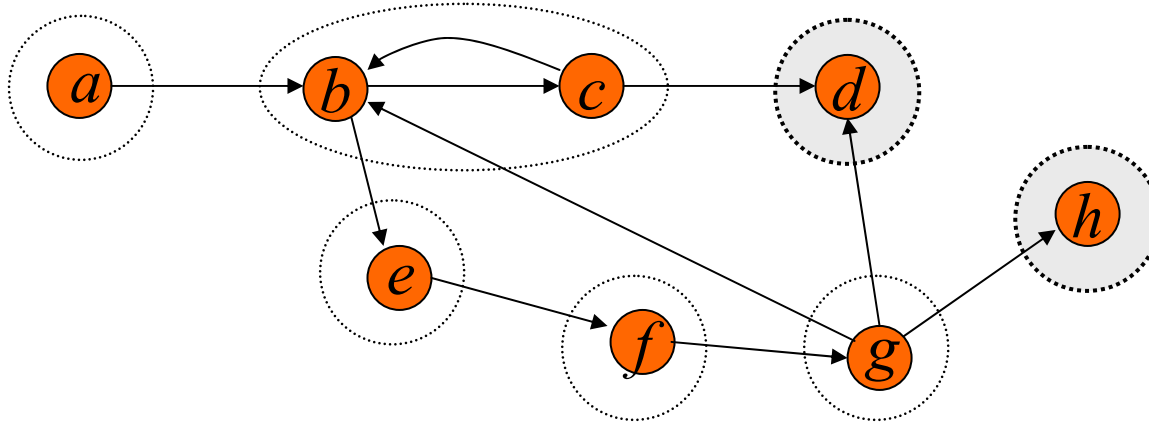
---

## Bezeichnungen:

- SZK  $K$  heißt **abgeschlossen**, wenn alle DFS-Aufrufe für Knoten in  $K$  abgeschlossen sind.
- **Wurzel** von  $K$  ist der Knoten mit kleinster dfsnum in  $K$ .
- Folge von Knoten heißt **unfertig**, falls ihre DFS aufgerufen sind, aber ihre SZK noch nicht abgeschlossen ist. (Sortiert nach dfsnum!)
- **wurzeln** ist Folge der Wurzeln von noch nicht abgeschlossenen SZK's. (Sortiert nach dfsnum!)



## Beispiel:



unfertig:	$a$	$b\ c$	$e$	$f$	$g$
wurzeln:	$a$	$b$	$e$	$f$	$g$

## Beobachtung:

1.  $\forall v \in \text{unfertig} : v \xrightarrow[E]{*} g$

2.  $\exists (v, w) \in E : v$  in abgeschlossener und

$w$  in nicht abgeschlossener Komponente.



---

Von  $g$  ausgehende Kanten:

$(g, d) \in C$  : tut nichts,  $d$  liegt in abgeschlossener SZK.

$(g, b) \in B$  : vereinigt vier Komponenten  $\{b, c\}$ ,  $\{e\}$ ,  $\{f\}$ ,  $\{g\}$ .

→ unfertig:       $a$  |  $b c e f g$   
                  wurzeln:       $a$  |  $b$

$(g, h) \in T$  : erzeuge neue Komponente  $\{h\}$

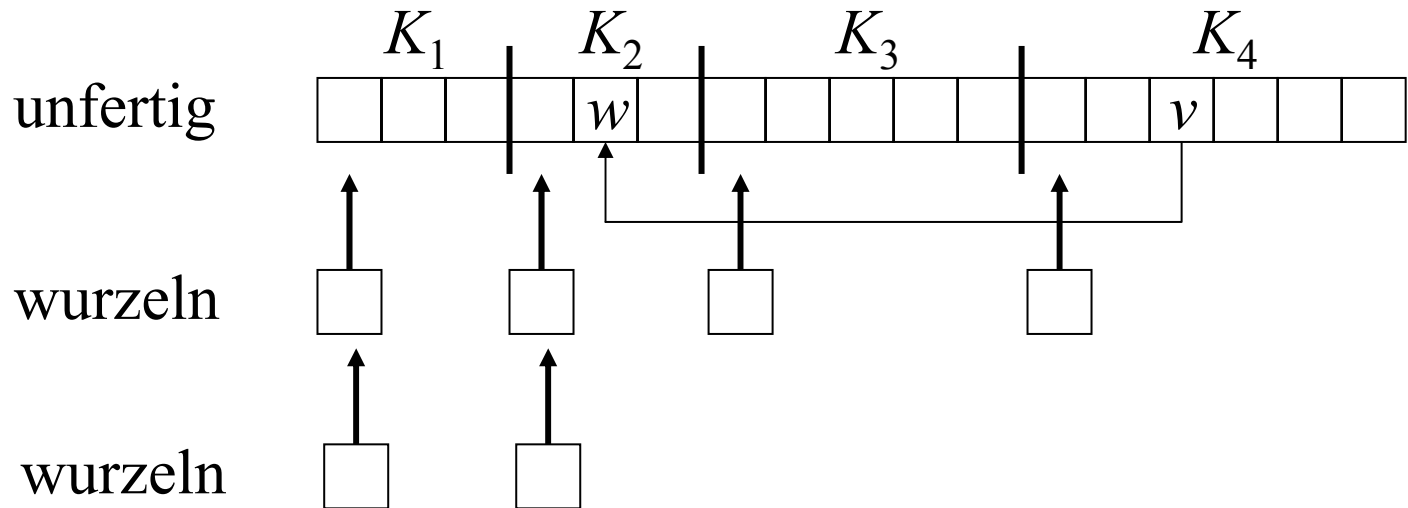
Beim Abschluss von  $\text{DFS}(v)$  teste, ob  $v$  Wurzel.

Wenn ja, so gib Komponente mit  $v$  als Wurzel aus und streiche sie aus unfertig und  $v$  aus wurzeln.



Operationen auf unfertig und wurzeln erlauben Implementierung als Keller (Stack):

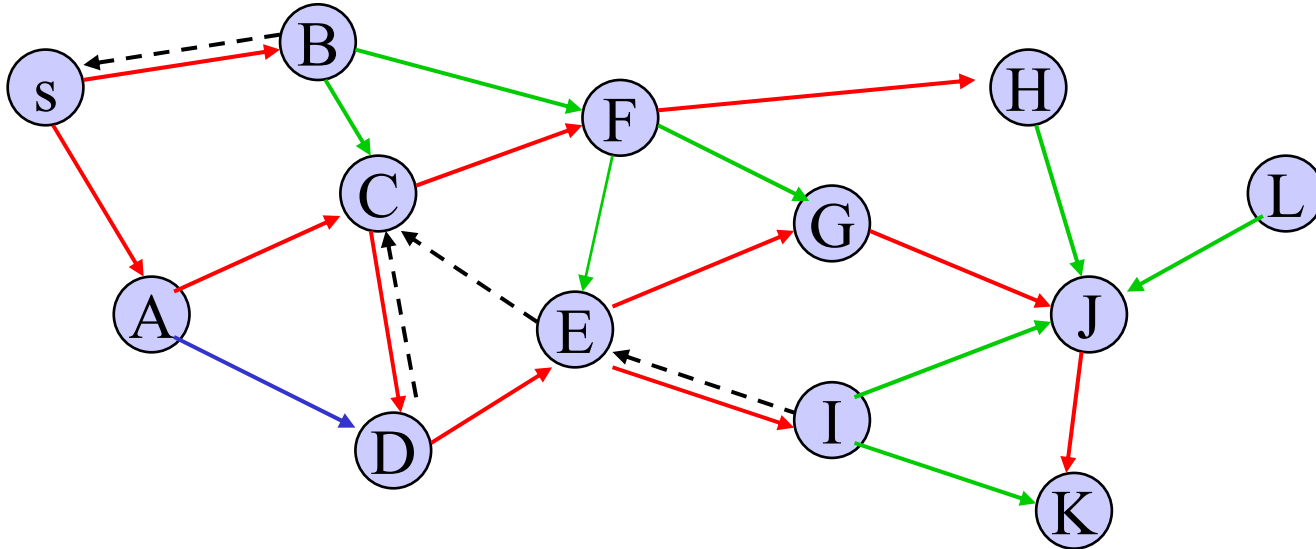
z.B. Vereinigen von Komponenten:



$K_2$ ,  $K_3$  und  $K_4$  werden vereinigt durch  $\text{pop}(\text{wurzeln})$  bis  $\text{top}(\text{wurzeln}) = \text{Wurzel der SZK von } w$ .



# Beispiel (Bestimmung der SZKs durch DFS):



unfertig ~~s~~ ~~A~~ ~~C~~ ~~D~~ ~~E~~ ~~G~~ ~~J~~ ~~K~~ ~~I~~ ~~F~~ ~~H~~ ~~B~~ ~~L~~

wurzeln ~~s~~ ~~A~~ ~~C~~ ~~D~~ ~~E~~ ~~G~~ ~~J~~ ~~K~~ ~~I~~ ~~F~~ ~~H~~ ~~B~~ ~~L~~

print (K) (J) (G) (H) (F) (I) (E) (D) (C) (A) (B) (s) (L)



---

## Korrektheit:

### Invarianten:

- I1:  $\exists (v, w) \in E$  mit  $v$  in abgeschlossener und  $w$  in nicht-abgeschlossener SZK.
- I2: Nichtabgeschlossene SZK's liegen auf einem Pfad, insbesondere ihre Wurzeln liegen auf einem Baumpfad
- I3: Knoten jeder nicht abgeschlossenen Komponente  $K_i$  bilden Intervall in „unfertig“, erstes Element des Intervalls ist die Wurzel von  $K_i$ .

Zu zeigen: Invarianten bleiben beim Einfügen neuer Kanten  $(v, w) \in E$  erfüllt.



---

1.Fall:  $(v, w) \in T$  :

push ( $w$ , unfertig); push ( $w$ , wurzeln)

I1: Es wird keine SZK abgeschlossen. ✓

I2: Sei  $r$  Wurzel der Komponente von  $v$ .

Dann  $r \xrightarrow[T]{*} v$  und  $(v, w) \in T$

$\Rightarrow r \xrightarrow[T]{*} w$

I3: Trivial!



---

2.Fall:  $(v, w) \notin T$  :

- a)  $w$  in abgeschlossener SZK: Tue nichts.
- b)  $w$  in nicht abgeschlossener SZK: Vereinige oberste SZK's bis zu der, in der  $w$  liegt.

In a) passiert nichts. Nur b) zu betrachten:

I1: Es wird keine SZK abgeschlossen...

I2: Pfad wird verkürzt.

I3: Löschen der obersten Wurzel vereinigt Intervalle zu einem neuen. Da vorher I2 galt, bildet dieses eine Intervall eine einzige Komponente.



---

Durch nachfolgenden Algorithmus (Programm) erhalten wir:

Satz:

Starke Zusammenhangskomponenten eines gerichteten Graphen können in Zeit  $O(n+m)$  berechnet werden.

Das Hauptprogramm wird erweitert um:

unfertig ← wurzeln ← leerer Keller



---

```

(1) procedure DFS( $v$ )
(2)  $\text{besucht}[v] := \text{true}; z1 := z1 + 1; \text{dfsnum}[v] := z1;$ 
(3)  $\text{push}(v, \text{unfertig}); \text{push}(v, \text{wurzeln});$ 
(4) for all  $(v, w) \in E$  do
(5)     if not  $\text{besucht}[w]$  then DFS( $w$ )
(6)     else if  $w \in \text{unfertig}$ 
(7)         then while  $\text{dfsnum}[\text{top}(\text{wurzeln})] > \text{dfsnum}[w]$  do
(8)              $\text{pop}(\text{wurzeln})$  od ;
(9)     fi
(10)    fi
(11) od
(12)  $z2 := z2 + 1; \text{compnum}[v] := z2$ 
(13) if  $v = \text{top}(\text{wurzeln})$ 
(14)     then repeat  $w := \text{pop}(\text{unfertig})$ 
(15)          $\text{print}(w)$ 
(16)     until  $v = w$  ;
(17)      $\text{pop}(\text{wurzeln})$  ;
(18) fi

```



---

Zeilen (13)-(16) : Ausgabe der SZK mit Wurzel  $v$ .

Bemerkungen:

- Test „ $w \in$  unfertig“ wird mit zusätzlichem booleschen Feld `in_unfertig` unterstützt.
- Jeder Knoten wird höchstens einmal nach unfertig bzw. wurzeln aufgenommen.



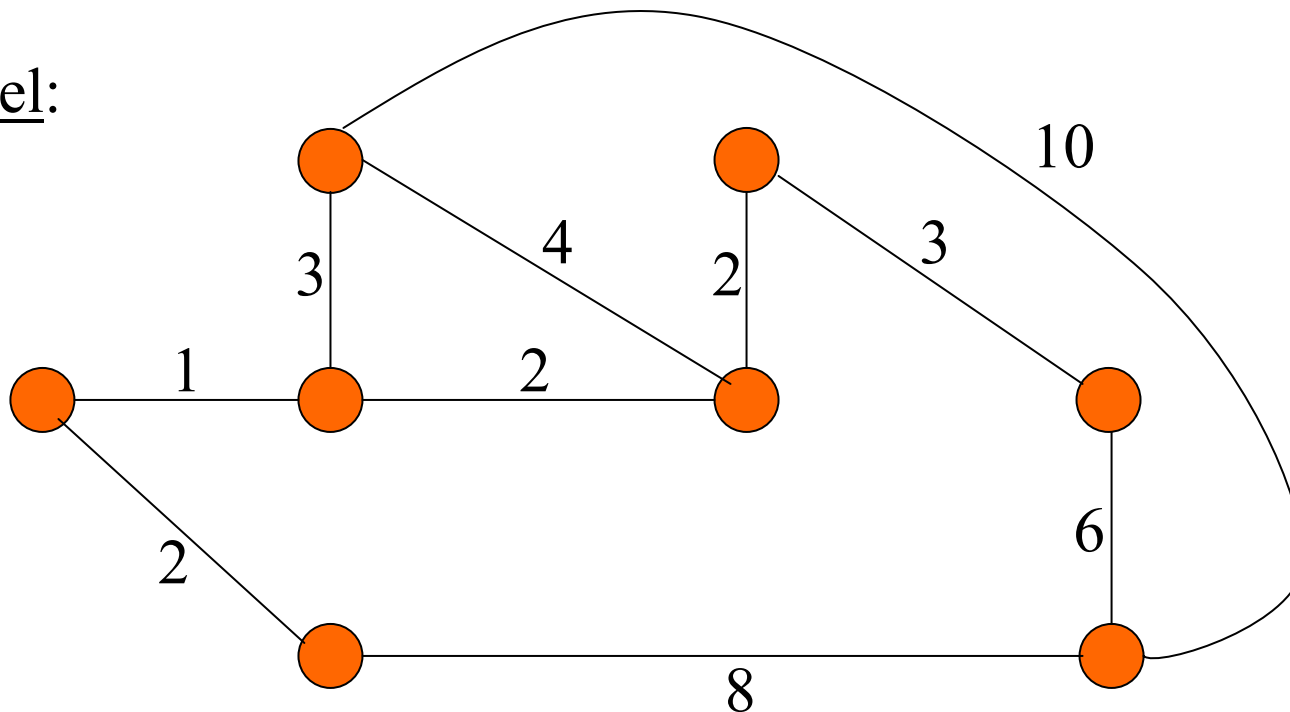
## 7.5 Minimal aufspannende Bäume (MST)

Sei  $G(V, E)$  ein zusammenhängender, ungerichteter Graph.

Sei  $c: E \rightarrow \mathbf{R}^+$  eine Kostenfunktion.

Ziel: Berechne  $E_T \subseteq E$ , sodass  $G(V, E_T)$  zusammenhängend ist  
und  $c(E_T) := \sum_{e \in E_T} c(e)$  kleinstmöglich ist.

Beispiel:



---

## Anwendungsbeispiele:

- Computer-Netzwerke...
- Elektronische Schaltkreise...
- Netz von Telefonanschlüssen...

uvm.

### Lemma:

$G(V, E_T)$  ist azyklisch.

### Beweis:

Würde  $G(V, E_T)$  einen Kreis enthalten, so könnte man eine Kante entfernen, der Graph wäre weiterhin zusammenhängend und die Gesamtkosten geringer.

□



---

Wir suchen also einen „**aufspannenden Baum**“ mit minimalen Kosten (**MST**, Minimum Spanning Tree).

## Kruskals Greedy-Algorithmus für MST

Sortiere Kanten  $e_1, e_2, \dots, e_m$  so, dass

$$c(e_1) \leq c(e_2) \leq \dots \leq c(e_m);$$

$$E_T \leftarrow \emptyset;$$

for  $i \leftarrow 1$  to  $m$  do

if  $(V, E_T \cup \{e_i\})$  azyklisch

then  $E_T \leftarrow E_T \cup \{e_i\}$

fi

od



---

Satz:

Der Greedy-Algorithmus von Kruskal ist korrekt, d.h. er findet immer einen MST.

Beweis:

Eine Kantenmenge  $E' \subseteq E$  heie „gut“, falls sie zu einem MST erweiterbar ist.

Behauptung:

Sei  $E' \subseteq E$  gut und sei  $e \in E \setminus E'$  eine billigste Kante, sodass der Graph  $(V, E' \cup \{e\})$  azyklisch ist.  
Dann ist auch  $E' \cup \{e\}$  gut.

Beweis der Behauptung per Induktion:

Sei  $T_1 = (V, E_1)$  ein MST mit  $E' \subseteq E_1$   
( $T_1$  existiert, da  $E'$  gut).  
Ist  $e \in E_1$ , so fertig.



---

Ist  $e \notin E_1$ , so betrachte Graph  $H = (V, E_1 \cup \{e\})$ .

$H$  enthält einen Kreis, auf dem  $e$  liegt. Da  $(V, E' \cup \{e\})$  azyklisch ist, enthält dieser Kreis auch eine Kante aus  $E_1 \setminus (E' \cup \{e\})$ .

Sei eine solche Kante  $e_1$ .

Betrachte  $T_2 = (V, (E_1 \setminus \{e_1\}) \cup \{e\})$ .

$T_2$  ist aufspannend und  $c(T_2) = c(T_1) + c(e) - c(e_1)$ .

Da  $e$  eine billigste Kante war, gilt  $c(e) \leq c(e_1)$ .

Also  $c(T_2) \leq c(T_1)$ .

Da nach Voraussetzung  $T_1$  ein MST ist, gilt  $c(T_2) = c(T_1)$ .

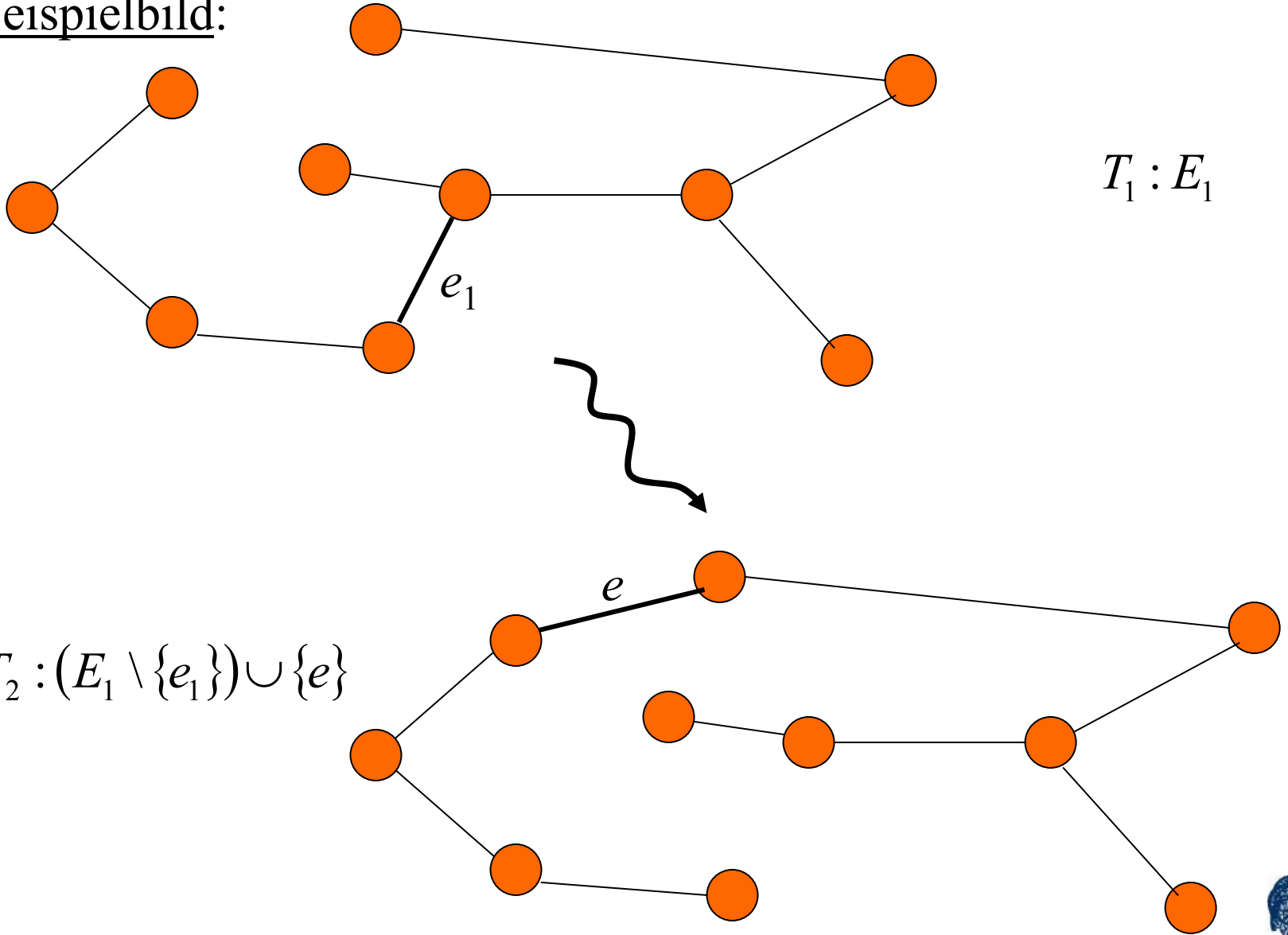
D.h.  $T_2$  auch ein MST, also  $E' \cup \{e\}$  gut.

Mit der Behauptung folgt die Korrektheit von Kruskals Algorithmus unmittelbar.

□



Beispielbild:



$T_1 : E_1$

$T_2 : (E_1 \setminus \{e_1\}) \cup \{e\}$



---

## Zur Implementierung:

Wir halten uns eine Partition  $V_1 \cup V_2 \cup \dots \cup V_k = V$   
von  $V : \forall i \neq j : V_i \cap V_j = \emptyset$  und  $\forall i : V_i \neq \emptyset$ .

## Operationen:

Starten mit Partition  $\{\{1\}, \{2\}, \dots, \{n\}\}$ .

Benötigen:

- Find( $x$ ): Gibt Namen der Menge zurück, die  $x$  enthält.
- Union( $a, b$ ): Vereinigt die Mengen  $a$  und  $b$ .



---

Damit wird die for-Schleife in Kruskals Algorithmus zu:

```
for  $i \leftarrow 1$  to  $m$  do  
    sei  $e_i = \{u, v\}$ ;  
     $a \leftarrow \text{Find}(u)$ ;  
     $b \leftarrow \text{Find}(v)$ ;  
    if  $a \neq b$   
        then  $E_T \leftarrow E_T \cup \{e_i\}$ ;  
        Union( $a, b$ )  
    fi  
od
```

Bemerkung:

Auf diese Weise lassen sich i.w. auch die Zusammenhangskomponenten eines Graphen berechnen.



---

## Zur Realisierung der Union-Find-Datenstruktur:

Erste naheliegende Idee:

Realisierung als Feld  $R[1 .. n]$ , wobei  $R[x]$  Name der Menge sein soll, die  $x$  enthält.

Damit:

```
Find(x):      return R[x]
Union(a,b):   for i ← 1 to n do
                if R[i] = a then R[i] ← b fi
                od
```

Laufzeit:      Find(x):       $O(1)$   
                 Union(a,b):     $O(n)$

Algorithmus von Kruskal:

$2m$  Find-Operationen und  $n-1$  Union-Operationen.

→ Laufzeit Kruskal:  $O(m+n^2+m \log m)$



---

## Heuristische Ideen zur Verbesserung:

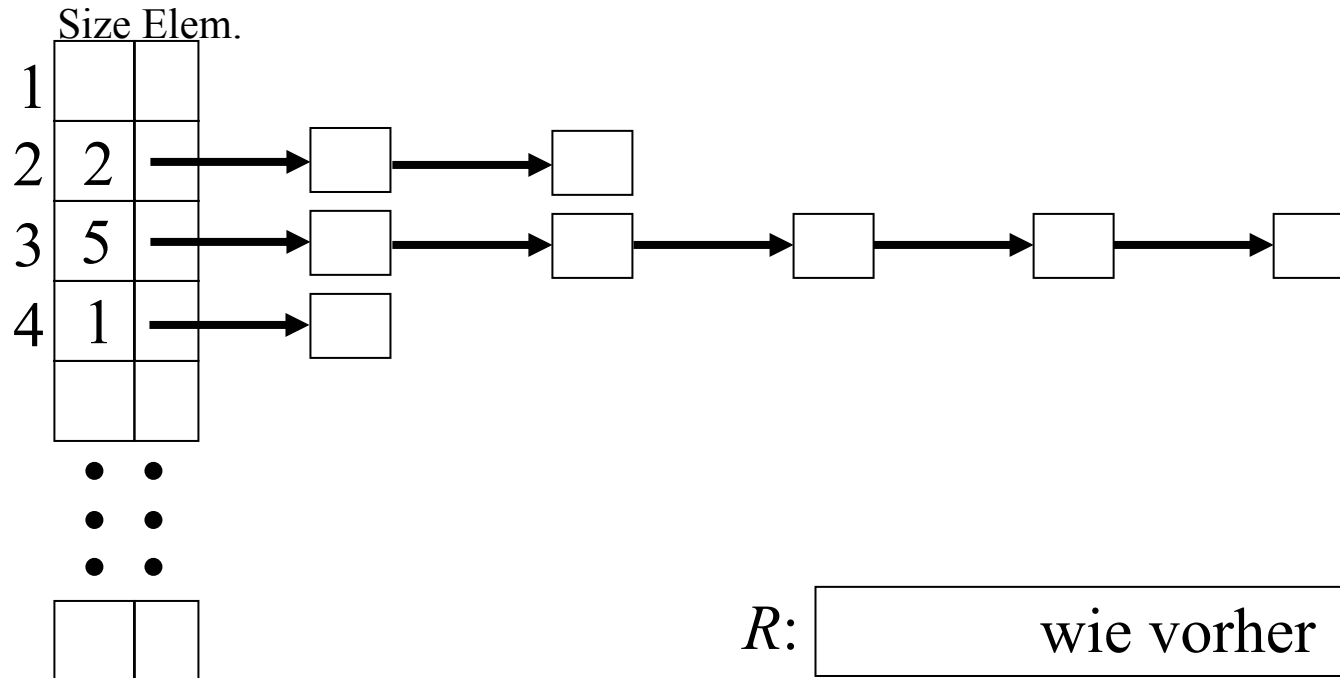
- Union sollte nicht alle Elemente anschauen...  
→ Verwalte Elemente jeder Menge separat...
- Behalte bei Union immer die Namen der größeren Mengen.



---

Also zusätzlich Verwaltung der Mengen als Listen  
(samt Größenangabe):

Bild:



---

Damit folgende Implementierung:

Initialis:        for  $x \leftarrow 1$  to  $n$  do  
                        $R[x] \leftarrow x$ ;  
                        $\text{Elem}[x] \leftarrow \{x\}$ ;  
                        $\text{size}[x] \leftarrow 1$ ;  
  
                       od

Find( $x$ ):        return  $R[x]$

Union( $a, b$ ):    if  $\text{size}[a] < \text{size}[b]$  then „vertausche  $a$  und  $b$ “ fi;  
                       for all  $x \in \text{Elem}[b]$  do  
                                $R[x] \leftarrow a$ ;  
                                $\text{insert}(x, \text{Elem}[a])$   
  
                       od;  
                        $\text{size}[a] \leftarrow \text{size}[a] + \text{size}[b]$

Beachte: Im Worst Case kann *ein* Union aber dennoch  
Zeit  $O(n)$  benötigen.



## Satz:

Mit obiger Implementierung lassen sich die Initialisierungen sowie  $n-1$  Union-Operationen und  $m$  Find-Operationen in Laufzeit  $O(n \cdot \log n + m)$  realisieren.

## Beweis:

Initialisierungen:  $O(n)$ , klar!

$m$  Find-Operationen:  $O(m)$ , klar!

$n$  Union-Operationen kosten Zeit  $O(n \log n)$ :

Union( $a, b$ ): Vereinige zwei Mengen mit  $n_a$  bzw.  $n_b$  Elementen;  
o.E. sei  $n_b \leq n_a \Rightarrow$  Laufzeit  $O(1 + n_b)$ .

Sei  $n_i$  für  $i$ -tes Union die Größe der kleineren Menge. Damit

Zeit für alle Union-Operationen:  $O\left(\sum_{i=1}^{n-1} (n_i + 1)\right) = O\left(n + \sum_{i=1}^{n-1} n_i\right)$ .

Immer wenn ein Element die Menge wechselt, trägt es

genau 1 zu  $\sum_{i=1}^{n-1} n_i$  bei.



---

Also  $\sum_{i=1}^{n-1} n_i = \sum_{j=1}^n r_j$ , wobei  $r_j$  angibt, wie oft Element  $j$  die

Menge wechselt.

Behauptung:  $r_j \leq \log_2 n$  für alle  $j = 1, 2, \dots, n$ .

Beweis der Behauptung:

Wenn  $j$  die Menge wechselt und vorher in einer Menge mit  $l$  Elementen war, so ist  $j$  nachher in einer Menge mit mindestens  $2l$  Elementen.

D.h. nach dem  $k$ -ten Wechsel ist  $j$  in einer Menge mit  $\geq 2^k$  Elementen.

Da es nur  $n$  Elemente gibt, folgt  $k \leq \log_2 n$ .

Mit Hilfe der Behauptung folgt somit, dass  $n$  Union-Operationen Zeit  $O(n \log n)$  kosten.

□



---

Korollar:

Der Algorithmus von Kruskal hat Laufzeit  $O(m \cdot \log m)$ .

Bemerkung:

Obiges ist ein Beispiel für **amortisierte Analyse**:

Wir betrachten statt Einzeloperationen, welche verschieden teuer sind, eine Folge von Operationen und stellen fest, wieviel diese *zusammen* kosten.

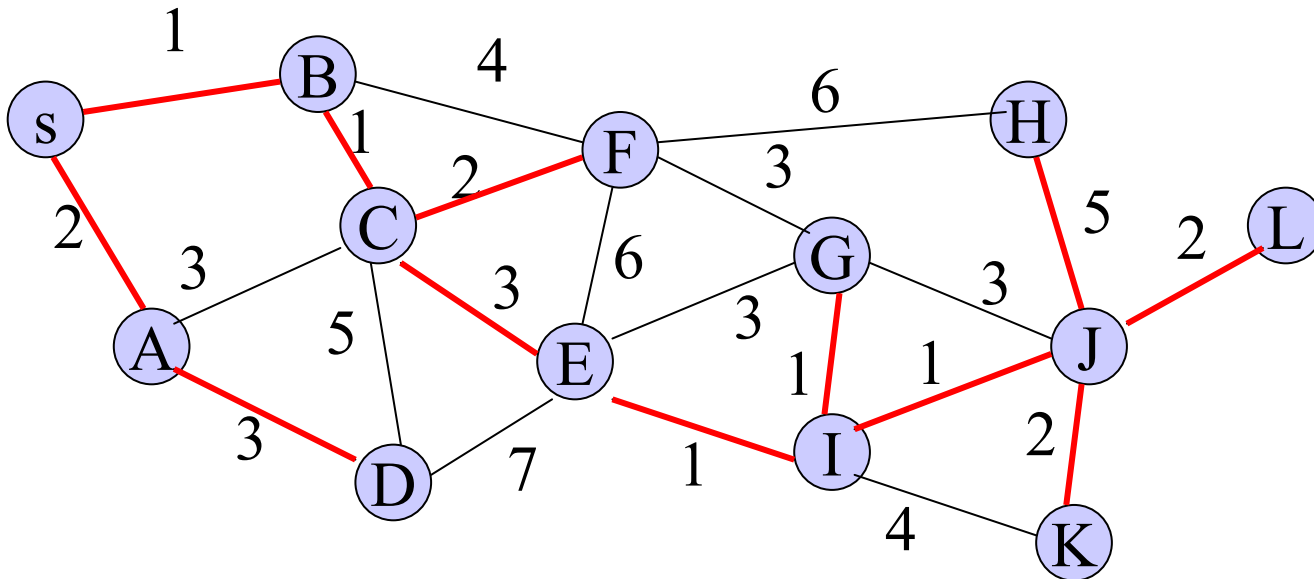
Anderes Beispiel für amortisierte Analyse:

Binärzähler: Nicht trivial  $n \log n$ , sondern  $2n$  amortisiert...



---

Beispiel (Kruskal, Ungerichteter Graph, nichtnegative Kanten):

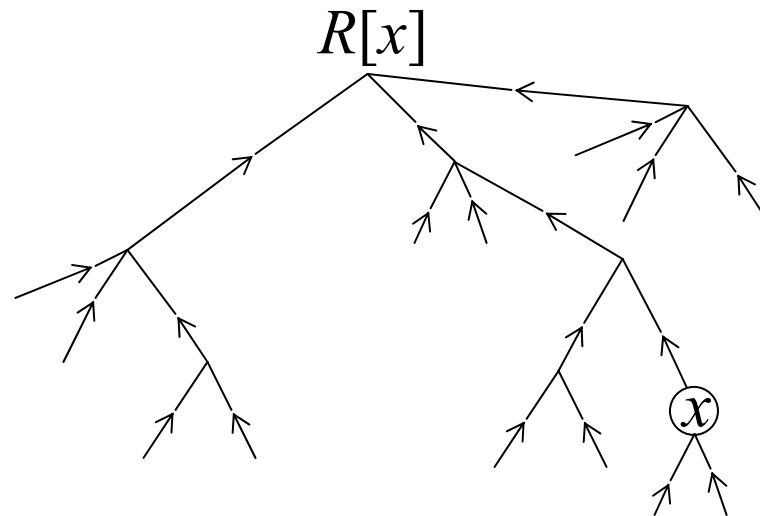


---

## Alternative zur vorigen Implementierung:

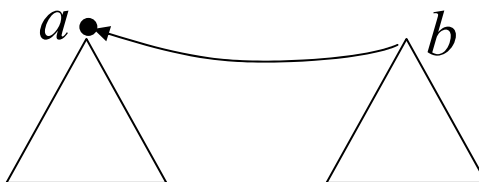
Idee: Repräsentiere jede Menge durch einen Baum  
(i.a. nicht binär):

Jeder Knoten (außer Wurzel) zeigt auf Elternknoten,  
Wurzel enthält Namen der Menge.



Damit:

Union( $a, b$ ): „Zusammenhängen“ von Bäumen.



Zeit:  $O(1)$



---

Find( $x$ ): Folge dem Pfad von  $x$  zur Wurzel.

Zeit:  $O(1+\text{Tiefe}(x))$ .

Ideal wäre also Baumtiefe 1...

Im Worst Case können  $n$  Union-Op. aber zu Tiefe  $n-1$  führen.

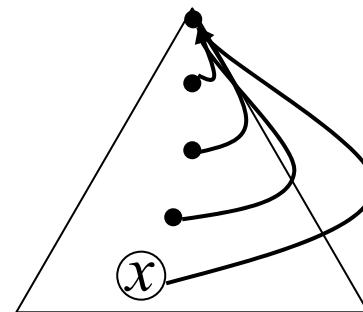
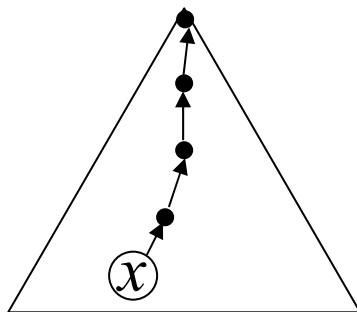
Deshalb: „**Gewichtete Vereinigungsregel**“:

Hänge immer den kleineren an den größeren Baum  
(Baumgröße = Anzahl der Knoten).

Weitere Idee: **Pfadkomprimierung**

Wenn bei Find der Pfad zur Wurzel zurückverfolgt wird,  
so hänge alle Zeiger des Pfades zur Wurzel hin um:

Bild:



## Mitteilung:

Mit gewichteter Verzweigungsregel und Pfadkomprimierung lassen sich die Initialisierungen sowie  $n-1$  Union-Operationen und  $m$  Find-Operationen in Laufzeit  $O(n + m \cdot \alpha(m+n, n))$  realisieren, wobei  $\alpha$  die Inverse der Ackermannfunktion ist.

$\alpha$  wächst extrem langsam und ist für alle realistischen Werte  $\leq 5$ .

Der Beweis obiger Mitteilung ist ziemlich kompliziert.

